

Universidad de La Habana

Facultad de Física



TESIS

*presentada en opción al grado científico de*

**Máster en Ciencias Físicas**

# **TERMODINÁMICA DE UN GAS MAGNETIZADO DE BOSONES VECTORIALES NEUTROS**

**Autora:** Lic. Lismary de la Caridad Suárez González

**Tutoras:** Dra. Gretel Quintero Angulo, FF-UH

Dra. Aurora Pérez Martínez, ICIMAF

La Habana, 2020

## Agradecimientos

Mis primeras líneas de agradecimiento tienen que ser para mis tutoras porque sencillamente son las mejores. Primeramente, a Gretel, por proponerme la genial idea de trabajar en temas de astrofísica, y a Aurora, por aceptarme como estudiante de maestría aun sabiendo que no tenía ninguna formación teórica. Por el conocimiento compartido y sobre todo por el tiempo dedicado. Por la paciencia en mis períodos de vagancia. A Gretel, en particular, por la paciencia infinita con mis errores tipográficos que por cierto también parecían infinitos. Por la amistad, y por los momentos de diversión;

A mis padres, por el amor, el apoyo, el ánimo y por la confianza depositada en mí;

Al ICIMAF, por abrirme las puertas y brindarme un lugar donde continuar con mi vocación científica. En general, por todas las oportunidades que han contribuido a mi formación profesional;

A mis compañeros del departamento de Física Teórica del ICIMAF: Diana, Yamila, Gaby, Duvier, Dariel, Samantha, Elizabeth, Jorgito, Hugo, Augusto y Cabo, porque es un grupo de trabajo donde el compañerismo sobra y es muy agradable trabajar en ese tipo de ambiente. En especial quiero agradecer a Diana quien fue de mucha ayuda en mis inicios en LaTeX y en Mathematica;

A Mercy, secretaria de la Facultad de Física, por la dulzura y amabilidad mostrada en lo referente a todos los temas burocráticos de la maestría;

A Sergio, por el amor y cariño en las etapas finales de la tesis. A Gabriela, por ser mi mejor amiga y aguantarme en mis periodos de estrés y, sobre todo, por estar siempre para mí cuando necesito hablar y desahogarme. A Rey, por prestarme sus computadoras para realizar mis cálculos más rápido ;

A todos mi amigos del grupo de teatro "Monopolo Magnetico": Gretel, Joeluis, Sandra, Vicente, Adrián, Alejandro, Landy y Yanela, y de mi banda "Jones Rock Band": Tony, Rey Luis, Ernesto, Javi y Bárbaro. Porque todos ellos hacen que mi vida sea más alegre y bonita.

## Resumen

Esta tesis está dedicada al estudio de las propiedades termodinámicas de un gas magnetizado de bosones vectoriales neutros a toda temperatura, con el fin de proporcionar ecuaciones de estado que permitan descripciones más generales y precisas de los fenómenos astrofísicos. Para ello, a partir del espectro energético derivado de la teoría de Proca, se obtienen expresiones analíticas para las magnitudes termodinámicas válidas a toda temperatura, así como sus límites no relativistas. A través de estas expresiones, y considerando el sistema en condiciones astrofísicas (densidades de partículas, temperaturas y campos magnéticos en el orden de los posibles en las Estrellas de Neutrones), se investigan la condensación de Bose-Einstein, las propiedades magnéticas y las ecuaciones de estado del gas, haciendo especial énfasis en la influencia de las antipartículas y el campo magnético. En todos los casos los resultados se comparan con sus análogos obtenidos en los límites de baja temperatura y no relativista, pues ello permite establecer los rangos aproximados de validez de dichas aproximaciones y lograr una mejor comprensión de sus efectos en el sistema estudiado.

## Abstract

This thesis is dedicated to study the thermodynamic properties of a magnetized neutral vector boson gas at any temperature, with the aim to provide equations of state that allow more general and precise descriptions of astrophysical phenomena. The all-temperature analytical expressions for the thermodynamic magnitudes, as well as their non-relativistic limits, are obtained starting from the energy spectrum given by Proca's theory. With these expressions, and considering the system under astrophysical conditions (particle densities, temperatures and magnetic fields in the order of the estimated for Neutron Stars), we investigate the Bose-Einstein condensation, the magnetic properties and the equations of state of the gas, making a special emphasis on the influence of antiparticles and magnetic field. In all cases, the results are compared with their analogues in the low temperature and the non-relativistic limits. This allows us to establish the ranges of validity of these approximations and to achieve a better understanding of their effects on the studied system.

# Índice general

<b>Resumen</b>	<b>ii</b>
<b>Abstract</b>	<b>ii</b>
<b>Índice general</b>	<b>iii</b>
<b>Introducción</b>	<b>1</b>
<b>1 Preliminares</b>	<b>5</b>
1.1 Unidades y magnitudes físicas utilizadas . . . . .	5
1.2 Espectro energético del gas magnetizado de bosones vectoriales neutros . . . . .	6
1.3 Condensado de Bose-Einstein . . . . .	8
1.4 Propiedades termodinámicas del gas de bosones vectoriales neutros a $B = 0$ . . . . .	11
1.4.1 Gas no relativista . . . . .	11
1.4.2 Gas relativista . . . . .	13
<b>2 Estudio termodinámico del gas magnetizado de bosones vectoriales neutros en el límite no relativista</b>	<b>18</b>
2.1 Potencial termodinámico . . . . .	18
2.2 Condensación de Bose-Einstein y propiedades magnéticas . . . . .	19
2.3 Ecuaciones de estado . . . . .	23
<b>3 Estudio termodinámico del gas magnetizado de bosones vectoriales neutros relativistas</b>	<b>25</b>
3.1 Extensión a toda temperatura. Magnitudes termodinámicas . . . . .	25
3.2 Antipartículas . . . . .	27
3.3 Condensación de Bose-Einstein . . . . .	27
3.4 Propiedades magnéticas . . . . .	30
3.5 Presiones anisotrópicas . . . . .	35
<b>Conclusiones</b>	<b>37</b>
<b>Recomendaciones</b>	<b>39</b>

<b>Apéndices</b>	<b>39</b>
<b>A Cálculo del calor específico no relativista</b>	<b>40</b>
<b>B Análisis de convergencia de la susceptibilidad magnética relativista en presencia del condensado</b>	<b>42</b>
<b>Bibliografía</b>	<b>44</b>

# Introducción

Uno de los problemas más desafiantes de la física moderna consiste en el estudio de la materia en condiciones extremas -densidades supranucleares y campos magnéticos fuertes-, y la determinación de las ecuaciones de estado (EdE) asociadas a ella [1]. La interacción fuerte, que es la dominante a densidades nucleares o superiores, se explica actualmente a través de la cromodinámica cuántica (QCD por sus siglas en inglés de *Quantum Chromodynamics*). Esta teoría tiene la limitante de que no permite usar métodos perturbativos para la descripción de hadrones con masas menores que 2 GeV [2]. Desde el punto de vista experimental, el problema también es complejo, debido a que todavía no se ha logrado obtener materia a densidades mayores que la densidad de saturación nuclear  $\rho_N \simeq 2,4 \times 10^{14} g/cm^3$ . Por otra parte, se sabe que existen configuraciones estelares estables que contienen materia en una de las formas más densas que se puede encontrar en el Universo. De modo que, hoy en día, los entornos astrofísicos son unos de los mejores escenarios para investigar las propiedades de la materia superdensa. En particular, las estrellas de neutrones (ENs) son excelentes laboratorios naturales, pues son objetos con tiempo de vida prácticamente infinito, cuyas densidades pueden llegar a ser de hasta un orden de magnitud mayor que las de los núcleos atómicos [1].

La idea de una estrella compuesta esencialmente por neutrones fue desarrollada en 1934 por los astrónomos Baade y Zwicky, a solo dos años del descubrimiento del neutrón [1]. Siguiendo esa propuesta, Tolman, Oppenheimer y Volkoff llevaron a cabo los primeros cálculos teóricos de la estructura macroscópica de estas estrellas [3]. Sin embargo, tuvieron que pasar más de 30 años hasta que, en 1967, la estudiante de doctorado Jocelyn Bell, analizando observaciones en ondas de radio, descubriera en el cielo una serie de pulsos coherentes con un período corto y muy regular, asociados a una fuente puntual, a la que se denominó “pulsar” (*pulsating star*) y que apenas un año después fue identificada como una estrella de neutrones altamente magnetizada en rotación [1]. En la actualidad, más de 1500 púlsares han sido detectados solamente en nuestra galaxia [4].

Las ENs tienen masas del orden de  $M \sim 1,5M_{\odot}^1$ , radios de  $R \sim 10$  km, densidad de masa bariónica  $\rho \sim 10^7 - 10^{15} g/cm^3$ , temperaturas  $T \sim 10^5 - 10^{11}$  K, y campos magnéticos que alcanzan valores entre  $10^9 - 10^{15}$  G en su superficie y hasta  $10^{18}$  G en su interior [5]. Su estructura interna se divide en capas. De afuera hacia adentro encontramos *la atmósfera* de unos centímetros de espesor; *la envoltura* que es una capa de alrededor de unos cientos de metros, con densidades que varían entre  $10^4 g/cm^3 < \rho < 10^6 g/cm^3$  y materia compuesta por núcleos atómicos y electrones no relativistas;

---

<sup>1</sup> $M_{\odot} = 1,989 \times 10^{30}$  kg es la masa del Sol.

la corteza, con aproximadamente 1km de grosor, que se separa en exterior e interior; y el núcleo. En la *corteza externa*, a densidades tales que  $7 \times 10^6 g/cm^3 < \rho < 4,3 \times 10^{11} g/cm^3$ , los electrones se vuelven relativistas, mientras que los núcleos atómicos (metales más ligeros), forman una red sólida. En la *corteza interna*, las densidades oscilan entre  $4,3 \times 10^{11} g/cm^3$  y  $2 \times 10^{14} g/cm^3$  aproximadamente y los electrones comienzan a penetrar en el núcleo atómico produciendo el decaimiento- $\beta$  inverso. A medida que el número de neutrones aumenta en los núcleos atómicos, estos se vuelven más densos y llega un punto ( $\rho \sim 4,3 \times 10^{11} g/cm^3$ ) en el que los neutrones comienzan a brotar fuera el núcleo en lo que se conoce como el goteo de neutrones [4]. El núcleo de la estrella ocupa el 90% de su volumen y contiene la mayoría de su masa, pudiendo alcanzarse en él densidades superiores a  $\rho_N$ . A pesar de que las ENs han sido ampliamente estudiadas todavía no existe un consenso en cuanto a la materia que forma su núcleo. Esto se debe a la imposibilidad de realizar experimentos a densidades supranucleares que descarten o corroboren los diferentes modelos teóricos propuestos, y a que las observaciones aún no son concluyentes.

El punto de partida en la descripción teórica de las ENs es siempre el estudio termodinámico de la materia que la compone, ya que a partir de este se obtienen las ecuaciones de estado que se utilizan en el cálculo de sus observables macroscópicos (masa, radio, campo magnético, momento de inercia, momento cuadrupolar de masa, período de rotación, etc.). Por ello resulta en extremo importante que dichos estudios sean lo más realistas y completos posible. Todo modelo teórico de las ENs parte de suponer el núcleo compuesto por un gas de neutrones, protones y electrones con una pequeña fracción de muones [4]. Sin embargo, a densidades mayores que la densidad nuclear, los momentos de Fermi de los nucleones son tan altos que pueden ocurrir reacciones de creación de otras partículas como hiperones o mesones [1, 6], o surgir fases exóticas de la materia como el plasma de quarks y gluones, el superfluido de nucleones o las fases superconductoras de color [1, 6–9].

Una de las hipótesis más populares en la modelación del núcleo de las ENs, es aquella que considera que en él los protones y neutrones se encuentran apareados [7, 9, 10]. En dependencia de la fortaleza de atracción entre los fermiones, los pares pueden comportarse como pares de Cooper (fermiones débilmente ligados) o bosones efectivos (fermiones fuertemente ligados) [11–13]. Aunque los modelos derivados de estos dos casos, a saber, los de estrellas de neutrones con interior superfluido y los de estrellas de bosones, datan de más de cincuenta años, ellos han vuelto a tomar auge en la última década [7, 9, 14–16]. Esto último gracias a los excelentes resultados obtenidos al ajustar la curva de enfriamiento del objeto compacto que se encuentra en el centro de Cassiopea A con un modelo de EN con interior superfluido [17], y a la demostración experimental de que la superfluidez y la condensación de Bose-Einstein (CBE) son los estados extremos del fenómeno de apareamiento de fermiones [11, 18–20]. Recientemente, en el grupo de investigación al que se adscribe esta tesis, varios estudios han sido dedicados a este tipo de modelo para el núcleo de las ENs formadas por neutrones apareados que se comportan como bosones efectivos [8, 10, 21]. En particular, referidos a los efectos de los altos campos magnéticos de estas estrellas en sus propiedades macroscópicas y microscópicas, y a la búsqueda de mecanismos que expliquen la generación de los mismos.

Incluir al campo magnético en la modelación de las ENs es un paso crucial en el camino hacia modelos cada vez más realistas, pues estas estrellas son objetos fuertemente magnetizados, y se ha

demostrado que las propiedades magnéticas de las partículas que las componen tienen una influencia importante en su fenomenología y estructura [10, 22–24]. En el caso de las estrellas de bosones estudiadas en [25] el campo magnético cobra gran importancia porque a las densidades típicas del núcleo de estos objetos, los pares de neutrones que se forman son vectoriales [15, 26, 27].

Por otra parte, la presencia del campo magnético enriquece muchísimo la fenomenología de los gases bosónicos de spin uno. En el caso de bosones vectoriales cargados, la cuantización del momento perpendicular de las partículas en niveles de Landau induce un cambio en la naturaleza de la transición de fase al condensado, que deviene difusa, es decir, no ocurre a una temperatura crítica definida sino que lo hace gradualmente en un intervalo de temperatura [28–32]. Por el contrario, en el caso de gases magnetizados de bosones vectoriales neutros la transición de fase al condensado es normal y se ve favorecida por la presencia del campo magnético [21, 25]. Pero ya sea el gas cargado o neutro, los gases bosónicos de spin uno presentan una interesante propiedad conocida como ferromagnetismo de Bose-Einstein, que consiste en la aparición de una magnetización espontánea a  $B = 0$ , un fenómeno que podría estar conectado con el origen de los campos magnéticos estelares [21, 31–33].

En los trabajos previos sobre el gas magnetizado de bosones vectoriales neutros<sup>II</sup> y los modelos de estrellas asociados a ellos, llevados a cabo en nuestro grupo de investigación, la descripción termodinámica de este sistema de partículas fue hecha en el límite de baja temperatura ( $T \ll m$ ). Como veremos en la tesis, el límite de baja temperatura es equivalente a hacer una aproximación de campo magnético fuerte, que al aplicarse a pares de bosones compuestos por dos neutrones requeriría el uso de campos a partir de  $B \sim 10^{19}\text{G}$ , un orden por encima que los campos magnéticos más intensos esperados en el interior de las ENs. De ahí que extender a toda temperatura los estudios termodinámicos previos del gas de bosones vectoriales neutros (GBVN) [25] implicaría además obtener expresiones exactas en la región de campo magnético débil. Este fue el propósito inicial de la tesis, sin embargo, a medida que avanzamos en los cálculos nos dimos cuenta de que ir más allá del límite  $T \ll m$  no solo permite obtener expresiones más generales y realistas para las EdE en esa región de temperatura, sino también estudiar la física de la región de alta temperatura, y en especial, la contribución de las antipartículas, usualmente despreciadas. Si bien es cierto que en el caso de bosones compuestos por dos neutrones temperaturas tales que  $T \gtrsim m$  ( $T \gtrsim 10^{13}\text{K}$ ) no son realistas (son demasiado altas tanto para los entornos astrofísicos [4] como para existencia del par [15]), la caracterización del GBVN a toda temperatura sí podría ser relevante en el caso de bosones más ligeros, y ser útil en otras ramas de la física, como la física de materia condensada [34], y la física de colisionadores de iones pesados [35–37]. De modo que el estudio realizado en la tesis rebasó nuestras pretensiones originales y demostró ser interesante en sí mismo.

De acuerdo con todo lo anterior, el **objetivo general de la presente tesis es estudiar las propiedades termodinámicas de un gas magnetizado de bosones vectoriales neutros a toda temperatura**, a fin de proporcionar ecuaciones de estado que permitan descripciones más generales y precisas de los objetos y fenómenos astrofísicos. Para ello nos proponemos los siguientes objetivos específicos:

- Obtener una expresión para toda temperatura del potencial termodinámico de un gas magne-

---

<sup>II</sup>Bosones vectoriales neutros pueden ser mesones, átomos, y otros pares de fermiones con carga neta cero y spin uno.

tizado de bosones vectoriales neutros en el límite no relativista.

- Obtener las ecuaciones de estado de este gas y estudiar sus propiedades termodinámicas.
- A partir de la expresión obtenida en [25] para toda temperatura del potencial termodinámico de un gas magnetizado de bosones vectoriales neutros relativistas, obtener las ecuaciones de estado de dicho gas a toda temperatura y estudiar sus propiedades termodinámicas.
- Comparar los resultados obtenidos para el gas relativista de bosones vectoriales neutros a toda temperatura, con los resultados en los límites no relativista y de baja temperatura para determinar los rangos de validez de dichas aproximaciones y sus efectos en el sistema estudiado.

A fin de cumplir los objetivos propuestos, la tesis se divide en tres capítulos, conclusiones, recomendaciones y dos apéndices. En el Capítulo 1 se tratan todos los aspectos preliminares como las unidades y magnitudes físicas utilizadas en la tesis, se discuten las propiedades fundamentales de la condensación de Bose-Einstein y se explica el procedimiento general utilizado en los cálculos termodinámicos a través del caso a  $B = 0$ . El Capítulo 2 se dedica al estudio del gas magnetizado de bosones vectoriales neutros en el límite no relativista, mientras que en el Capítulo 3 se presenta la descripción totalmente relativista de este gas. Los principales resultados y aportes de la tesis se resumen en las conclusiones, mientras que en las recomendaciones se delinean los caminos por los cuales pensamos dar continuidad a la investigación. En el apéndice A se explican los detalles del cálculo del calor específico en el límite no relativista. El apéndice B recoge algunas cuestiones importantes del cálculo de la susceptibilidad magnética en el caso relativista.

# Capítulo 1

## Preliminares

Este capítulo tiene carácter introductorio. En él se presenta el sistema de unidades utilizado en la tesis, se discuten las principales características de la condensación de Bose-Einstein, y se explica la metodología a seguir para el estudio termodinámico del gas magnetizado de bosones vectoriales neutros a través de un ejemplo: un gas de bosones vectoriales neutros a campo magnético cero.

### 1.1 Unidades y magnitudes físicas utilizadas

En astrofísica y en física de partículas es habitual y conveniente usar el sistema de unidades naturales (UN). Este sistema se define haciendo en todas las ecuaciones  $\hbar = c = k_B = 1$ , donde  $\hbar$  es la constante de Planck,  $c$  es la velocidad de la luz en el vacío y  $k_B$  es la constante de Boltzman. En la tesis, todas las ecuaciones están escritas en este sistema de unidades y las magnitudes que se encuentran en ellas están expresadas en potencias de MeV:

$$[longitud] = [tiempo] = [masa]^{-1} = [energia]^{-1} = [temperatura]^{-1}.$$

Los factores de conversión para obtener las magnitudes en el Sistema Internacional de unidades a partir de las UN son:

$$\begin{aligned} 1m &= 5,07 \times 10^{13} MeV^{-1}, \\ 1kg &= 5,61 \times 10^{29} MeV, \\ 1s &= 1,52 \times 10^{21} MeV^{-1}, \\ 1K &= 8,61 \times 10^{-11} MeV, \\ 1J &= 6,24 \times 10^{12} MeV, \\ 1T &= 10^4 G = 0,699 \times 10^{-9} MeV^2. \end{aligned}$$

En los gráficos, las magnitudes se reportan o bien adimensionalizadas, o en las unidades más usadas para ellas, a fin de que nuestros resultados puedan compararse fácilmente con los reportados

en la literatura especializada. Por ello, la masa se expresa en MeV y la densidad de partículas en  $cm^{-3}$ ; el campo magnético se da en Gauss(G), la presión en MeV/fm<sup>3</sup> y la temperatura en Kelvin (K). La densidad de masa nuclear  $\rho_N$  para los neutrones corresponde a una densidad de partículas  $N$  de aproximadamente  $10^{38}cm^{-3}$ .

Todos los cálculos numéricos de la tesis se realizaron para un gas de bosones vectoriales neutros con masa  $2m_n$  y momento magnético  $2k_n$ , donde  $m_n = 939,565MeV$  y  $k_n = 8,65 \times 10^{-5}MeV^{-1}$  son la masa y el momento magnético del neutrón [38], a fin de facilitar su comparación con lo obtenido en [25]. Es importante aclarar que aunque el apareamiento de neutrones solo tiene lugar para temperaturas  $T \lesssim 10$  keV [39], nuestro estudio no pierde fuerza por esto, ya que en todos los casos la presentación y discusión de los resultados ha sido hecha de manera general y sus conclusiones son válidas más allá de la partícula escogida.

## 1.2 Espectro energético del gas magnetizado de bosones vectoriales neutros

Los bosones neutros con spin uno en presencia de un campo magnético pueden ser descritos a través de una extensión del lagrangiano de Proca que incluya las interacciones entre las partículas y el campo electromagnético [40, 41]:

$$L = -\frac{1}{4}F_{\mu\nu}F^{\mu\nu} - \frac{1}{2}\rho^{\mu\nu}\rho_{\mu\nu} + m^2\rho^\mu\rho_\mu + im\kappa(\rho^\mu\rho_\nu - \rho^\nu\rho_\mu)F_{\mu\nu}. \quad (1.1)$$

En la Ec. (1.1) los índices  $\mu$  y  $\nu$  van de 1 a 4,  $F^{\mu\nu}$  es el tensor del campo electromagnético y  $\rho_{\mu\nu}$ ,  $\rho_\mu$  son variables independientes del campo que cumplen [40]:

$$\partial_\mu\rho_{\mu\nu} - m^2\rho_\nu + 2i\kappa m\rho_\mu F_{\mu\nu} = 0, \quad \rho_{\mu\nu} = \partial_\mu\rho_\nu - \partial_\nu\rho_\mu. \quad (1.2)$$

De la variación del lagrangiano con respecto al campo  $\rho_\mu$  se obtienen las ecuaciones de movimiento, que en el espacio de los momentos pueden escribirse como:

$$((p_\mu^2 + m^2)\delta_{\mu\nu} - p_\mu p_\nu - 2i\kappa m F_{\mu\nu})\rho_\mu = 0. \quad (1.3)$$

En lo que sigue de la tesis el campo magnético se considerará uniforme, constante y en la dirección  $z$ :  $\mathbf{B} = (0, 0, B)$ . Con ello, uno puede partir de la Ec. (1.2) y obtener el hamiltoniano generalizado de Sakata-Taketani para la función de onda de seis componentes que describe el sistema de bosones vectoriales magnetizados [40, 41] siguiendo el procedimiento descrito en [40]. El hamiltoniano es [25]:

$$\hat{H} = \sigma_3 m + (\sigma_3 + i\sigma_2)\frac{\mathbf{p}^2}{2m} - i\sigma_2\frac{(\mathbf{p} \cdot \mathbf{S})^2}{m} - (\sigma_3 - i\sigma_2)\kappa\mathbf{S} \cdot \mathbf{B}, \quad (1.4)$$

con  $\mathbf{p} = (p_\perp, p_3)$ , donde  $p_3$  es la componente del momentum paralela al campo magnético y  $p_\perp = p_1^2 + p_2^2$  es la componente perpendicular.  $\sigma_i$  son las matrices de Pauli<sup>1</sup> de  $2 \times 2$ ,  $S_i$  son las matrices de

---

<sup>1</sup>  $\sigma_1 = \begin{pmatrix} 0 & 1 \\ 1 & 0 \end{pmatrix}$ ,  $i\sigma_2 = \begin{pmatrix} 0 & 1 \\ -1 & 0 \end{pmatrix}$ ,  $\sigma_3 = \begin{pmatrix} 1 & 0 \\ 0 & -1 \end{pmatrix}$

$3 \times 3$  de spin uno en una representación en la que  $S_3$  es diagonal y  $\mathbf{S} = \{S_1, S_2, S_3\}^{\text{II}}$ .

A partir del hamiltoniano pueden obtenerse las ecuaciones de movimiento para el momento  $\mathbf{p}$  y la posición  $\mathbf{r}$ :

$$\frac{\partial \mathbf{p}}{\partial t} = i[\hat{H}, \mathbf{p}], \quad \frac{\partial \mathbf{r}}{\partial t} = i[\hat{H}, \mathbf{r}] \quad (1.5)$$

donde  $[a, b] = ab - ba$  es el conmutador de  $a$  y  $b$ . Las ecuaciones de movimiento quedan:

$$\frac{\partial \mathbf{p}}{\partial t} = \vec{0}, \quad (1.6)$$

$$m \frac{\partial \mathbf{r}}{\partial t} = (\sigma_3 - i\sigma_2)\mathbf{p} + i\sigma_2[\mathbf{S}, \mathbf{p}, \mathbf{S}]. \quad (1.7)$$

De la Ec. (1.6) se sigue que los bosones vectoriales neutros se mueven libremente en la dirección paralela al campo así como en la perpendicular [25]. Esto es una diferencia con respecto al caso de los bosones vectoriales cargados, en el cual la componente del momento perpendicular al campo está cuantizada [42].

Los autovalores del hamiltoniano dan lugar al espectro de los bosones:

$$\epsilon(p_3, p_{\perp}, B, s) = \sqrt{m^2 + p_3^2 + p_{\perp}^2 - 2kB_s \sqrt{m^2 + p_{\perp}^2}}, \quad (1.8)$$

donde  $s = 0, \pm 1$  son los autovalores del spin [25]. La componente perpendicular del momentum  $p_{\perp}$  se acopla al campo magnético reflejando la simetría axial que impone al sistema el campo magnético. El estado básico para un bosón neutro de spin uno se obtiene al hacer  $p_3 = p_{\perp} = 0$  y  $s = 1$ :

$$\epsilon(0, B) = \sqrt{m^2 - 2kBm} = m\sqrt{1 - b}, \quad (1.9)$$

donde  $b = B/B_c$  y  $B_c = m/2k$ . De la expresión (1.9) podemos ver que a medida que  $B$  aumenta, la energía del estado básico disminuye hasta hacerse cero en  $B = B_c$ , y compleja más allá de este valor. Por tanto, para  $B \geq B_c$  el sistema se vuelve inestable.

La Ec.(1.9) nos permite definir el momento magnético efectivo de cada partícula como [25]:

$$d = -\frac{\partial \epsilon(0, B)}{\partial B} = \frac{km}{\sqrt{m^2 - 2mkB}} = \frac{k}{\sqrt{1 - b}}, \quad (1.10)$$

de donde se sigue que el sistema tiene un comportamiento paramagnético, pues  $d > 0$ , algo que será importante en la discusión de las propiedades magnéticas, al igual que la divergencia de  $d$  cuando  $b \rightarrow 1$  ( $B \rightarrow B_c$ ).

---

<sup>II</sup>  $S_1 = \frac{1}{\sqrt{2}} \begin{pmatrix} 0 & 1 & 0 \\ 1 & 0 & 1 \\ 0 & 1 & 0 \end{pmatrix}$ ,  $S_2 = \frac{i}{\sqrt{2}} \begin{pmatrix} 0 & -1 & 0 \\ 1 & 0 & -1 \\ 0 & 1 & 0 \end{pmatrix}$ ,  $S_3 = \begin{pmatrix} 1 & 0 & 0 \\ 0 & 0 & 0 \\ 0 & 0 & -1 \end{pmatrix}$

Cuando  $p_3, p_\perp, kB \ll m$  los efectos relativistas dejan de ser apreciables. En este caso, teniendo en cuenta que  $\sqrt{m^2 + p_\perp^2} \sim m + \frac{p_\perp^2}{2m}$  y  $p_3^2 + p_\perp^2 = p^2$ , la ecuación (1.8) se transforma en:

$$\epsilon(p_3, p_\perp, B, s) \approx \sqrt{m^2 + p^2 - 2kBsm - 2s \frac{kB p_\perp^2}{2m}}. \quad (1.11)$$

El término  $\frac{kB p_\perp^2}{2m}$  de la expresión anterior se puede despreciar ya que es de tercer orden. Luego, haciendo el desarrollo en serie de Taylor de  $m\sqrt{1 + (\frac{p}{m})^2 - \frac{2kB s}{m}}$  hasta el segundo orden, obtenemos el siguiente espectro para el gas de bosones vectoriales neutros en el límite no relativista (NR):

$$\epsilon_{NR}(p, B, s) = m + \frac{p^2}{2m} - skB. \quad (1.12)$$

Para simplificar las expresiones termodinámicas que obtendremos a partir del espectro NR, vamos a reescalar la Ec.(1.12) con respecto al término constante de la masa a través de la sustitución  $\epsilon \rightarrow \epsilon - m$ . Esto es equivalente a hacer  $\mu \rightarrow \mu - m$  en el potencial termodinámico. La única magnitud que se ve afectada por este cambio es la densidad de energía total  $E$ . Pero ella se puede corregir fácilmente sumándole el término  $mN$ . Finalmente, el espectro no relativista queda:

$$\epsilon_{NR}(p, B, s) = \frac{p^2}{2m} - skB. \quad (1.13)$$

### 1.3 Condensado de Bose-Einstein

Una de las características más sobresalientes de los gases bosónicos es la ocurrencia de la condensación de Bose-Einstein (CBE). Este estado de la materia fue predicho por Albert Einstein en 1924, a partir de estudios previos de Satyendra Nath Bose. Einstein obtuvo, de manera teórica, que al enfriar un sistema bosónico por debajo de cierta temperatura crítica se produce una concentración de las partículas en el nivel de mínima energía, al contrario de lo que ocurre para un sistema fermiónico, en el que un comportamiento similar está prohibido por el Principio de exclusión de Pauli. La ocupación del estado fundamental de un sistema cuántico por un número macroscópico de partículas es lo que se conoce como CBE. A pesar de los numerosos intentos llevados a cabo durante más de siete décadas para producir este fenómeno en el laboratorio, no fue hasta junio de 1995 que se logró el primer condensado [43]. Este se obtuvo al enfriar un vapor diluido de aproximadamente dos mil átomos de rubidio-87 por debajo de 170 nK a través de una combinación de enfriamiento por láser y enfriamiento por evaporación magnética. En los últimos 20 años se han obtenido numerosos CBE en diferentes sistemas atómicos [44–47]. Incluso, recientemente se ha producido el condensado de Bose-Einstein en la estación espacial internacional, confirmando que los efectos gravitatorios pueden despreciarse en su obtención [48].

En este epígrafe resumiremos los principales supuestos teóricos que dan lugar al CBE en aras de facilitar la discusiones físicas de las propiedades magnéticas del gas de bosones. Para el análisis

partiremos de la teoría cuántica de campo a temperatura finita, ya que ella incluye todos efectos que nos interesan: la descripción relativista para el gas de bosones y la discusión de las antipartículas.

En teoría cuántica de campos a temperatura finita se denomina “carga”  $\widehat{Q}$  a cualquier número cuántico conservado. La carga conservada asociada con el número de bosones se define como [49]:

$$Q = \sum_p \frac{1}{e^{(\epsilon(p)-\mu)/T} - 1} - \sum_p \frac{1}{e^{(\epsilon(p)+\mu)/T} - 1}. \quad (1.14)$$

El primer y segundo término de la expresión anterior corresponden al número de partículas  $N^+$  y antipartículas  $N^-$  respectivamente. Como podemos apreciar,  $N^+$  y  $N^-$  no se conservan por separado; lo que se conserva es su diferencia  $N^+ - N^-$  determinada por la temperatura  $T$  y el potencial químico  $\mu$  del sistema [49].

Para que  $N^+$  y  $N^-$  sean definidas positivas, de la expresión (1.14) se llega a la importante conclusión de que  $|\mu| \leq m$ . Por otra parte, nótese que el signo de  $Q$  depende de si  $\mu$  toma valores positivos o negativos, y esto indica si las partículas superan en número a las antipartículas o viceversa. Algo interesante a destacar es el hecho de que no hay ninguna restricción matemática para que el número de antipartículas sea mayor que el de partículas. Sin embargo, hasta ahora las evidencias experimentales y observacionales sugieren que vivimos en un universo donde la materia prima sobre la antimateria, una preferencia que la física aún no logra explicar. El experimento ALPHA en el CERN está dedicado precisamente al estudio de las propiedades de la antimateria a fin de mejorar nuestro entendimiento de la misma [50, 51].

Si en la Ec.(1.14) hacemos el paso de la suma a una integral sobre  $p$ , la densidad de carga o densidad de partículas  $N = Q/V$  se convierte en:

$$N = \frac{1}{2\pi^2} \int_0^\infty p^2 dp \left[ \frac{1}{e^{(\epsilon(p)-\mu)/T} - 1} - \frac{1}{e^{(\epsilon(p)+\mu)/T} - 1} \right]. \quad (1.15)$$

La ecuación anterior constituye una fórmula implícita para  $\mu$  como función de  $N$  y  $T$ . Para  $|\mu| < m$ , la dependencia  $\mu(N, T)$  siempre puede ser determinada. En cambio, si  $\mu = \pm m$  el integrando de la Ec.(1.15) diverge en  $\epsilon(p=0) = m$ . En este caso hay dos posibilidades que dependen de la dimensión y el espectro del sistema [52]. La primera es que la integral de la Ec.(1.15) diverja para  $\mu = \pm m$ ; esto significa que no existe ningún par de valores de  $N$  y  $T$  para los cuales  $\mu$  sea igual a la energía mínima del sistema. La segunda posibilidad es que la integral converja aún cuando  $\mu = \pm m$ , y esto significa que existen ciertos valores (críticos) de  $N$  y  $T$  a partir de los cuales  $\mu = \pm m$ . En tal caso es posible demostrar que la Ec.(1.15) solo describe a las partículas en los estados excitados [49, 53]. Por tanto, la diferencia entre el valor de la Ec.(1.15) y el número total de partículas en el sistema corresponde al número de bosones en el estado fundamental, es decir, al número de bosones condensados.

En los casos en que la CBE es posible, la densidad de carga puede escribirse de manera general

como:

$$N = \begin{cases} N_{gs} + \frac{1}{2\pi^2} \int_0^\infty p^2 dp \left[ \frac{1}{e^{\epsilon(p)-\mu}/T-1} - \frac{1}{e^{\epsilon(p)+\mu}/T-1} \right], & \mu = \pm m, T < T_c, N > N_c \\ \frac{1}{2\pi^2} \int_0^\infty p^2 dp \left[ \frac{1}{e^{\epsilon(p)-\mu}/T-1} - \frac{1}{e^{\epsilon(p)+\mu}/T-1} \right], & |\mu| < m, T \geq T_c, N \leq N_c \end{cases}, \quad (1.16)$$

donde  $N_{gs}$  es el número de partículas en el estado básico. A pesar de que el CBE es comúnmente caracterizado como un fenómeno de baja temperatura, en realidad está determinado por la relación entre la temperatura y la densidad de partículas. La región condensada está delimitada por  $T < T_c$  y  $N > N_c$ , como se sigue de la Ec.(1.16) y se ha representado en la Figura 1.1. Si la densidad es lo

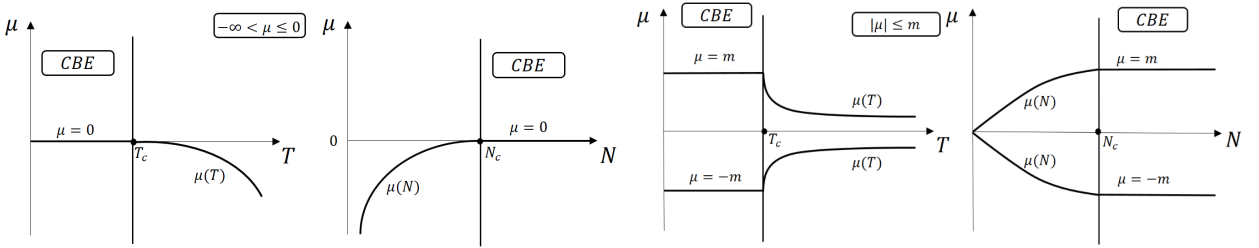


Figura 1.1: Representación esquemática de la dependencia del potencial químico con la temperatura y la densidad de partículas para un gas ideal de bosones no relativistas (panel derecho) y relativista (panel izquierdo). En todos los casos, la condición para la ocurrencia del condensado es  $\mu = \pm\epsilon(p=0)$ .

suficientemente alta, la condensación puede ocurrir incluso a temperaturas relativistas  $T_c \gg m$ , un escenario en el que las antipartículas juegan un papel muy importante, como veremos a continuación.

En el límite ultrarelativista se cumple que  $T, p \gg m$  y  $T \gg \mu$ , y lo usual es aproximar el espectro de energía a  $\epsilon(p) \cong p$  y despreciar los términos que contienen a  $\mu/T$  en la definición de  $N$ . Pero nótese que si se desprecia  $\mu/T$  en la Ec.(1.15) el término de las partículas se cancela con el de las antipartículas. Para no perder la información relacionada con el potencial químico es necesario realizar un desarrollo en serie de Taylor de la función  $1/(e^{(p\pm\mu)/T} - 1)$  alrededor de  $\mu/T = 0$  hasta segundo orden. De esta forma se obtiene [49, 54]:

$$|N| \cong \frac{\mu}{\pi^2 T} \int_0^\infty p^2 dp \left[ \frac{e^{p/T}}{(e^{p/T} - 1)^2} \right] \cong \frac{\mu T^2}{3}. \quad (1.17)$$

Por el contrario, si desde un inicio no se consideran las antipartículas, al tomar el límite ultrarelativista  $N$  queda:

$$N \cong \frac{1}{2\pi^2} \int_0^\infty p^2 dp \left[ \frac{1}{(e^{p/T} - 1)} \right] \cong \frac{\zeta[3]T^3}{\pi^2}, \quad (1.18)$$

donde  $\zeta$  es la función zeta de Riemann. La temperatura crítica  $T_c$  y la densidad de partículas en el estado fundamental serían:

$$T_c = \begin{cases} \left(\frac{3|N|}{m}\right)^{1/2}, & \text{con antipartículas,} \\ \left(\frac{\pi^2 N}{\zeta[3]}\right)^{1/3}, & \text{sin antipartículas,} \end{cases} \quad (1.19)$$

y

$$N_{gs} = \begin{cases} |N| \left[1 - \left(\frac{T}{T_c}\right)^2\right], & \text{con antipartículas,} \\ N \left[1 - \left(\frac{T}{T_c}\right)^3\right], & \text{sin antipartículas.} \end{cases} \quad (1.20)$$

Despreciar las antipartículas al estudiar el CBE relativista en el régimen de altas temperaturas  $T \gg m$  conduce a resultados incorrectos. Esto se aprecia claramente a partir de la Ec.(1.20), pues la dependencia entre el número de partículas en el condensado y la temperatura es cuadrática cuando se tienen en cuenta las antipartículas, y cúbica cuando estas se desprecian. En el límite no relativista (tratado en el próximo epígrafe)  $N_{gs}$  depende de  $T^{3/2}$  (Ec.(1.25)).

Por otra parte, la Ec.(1.19) muestra que tener en cuenta a las antipartículas implica una dependencia entre  $T_c$  y la masa del bosón. Este resultado tiene implicaciones interesantes para  $m \rightarrow 0$ , pues en este caso  $T_c \rightarrow \infty$  y  $N_0 = N$ . Luego, la carga neta de un gas ideal de bosones no masivo reside en el estado fundamental<sup>III</sup>. Como se mencionó en el epígrafe anterior, uno de los efectos del campo magnético sobre un sistema de bosones vectoriales neutros consiste en la disminución de la energía de su estado básico (Ec.(1.9)). En consecuencia, en los próximos capítulos veremos que al aumentar el campo magnético, aumenta la temperatura de condensación.

De la Ec.(1.19) con antipartículas también se sigue que para obtener la condensación a temperaturas relativistas  $T_c \gg m$ , tiene que cumplirse que  $N \gg m^3$ . Por el contrario, en el régimen no relativista lo que se cumple es  $N \ll m^3$ , resultado que puede encontrarse en cualquier libro de física estadística estándar [55]. En otras palabras, las altas densidades favorecen la condensación en el sentido de que esta se puede obtener a temperaturas altas.

## 1.4 Propiedades termodinámicas del gas de bosones vectoriales neutros a $B = 0$

### 1.4.1 Gas no relativista

Un gas queda descrito teóricamente si se conoce su ecuación de estado, y esta siempre se puede obtener a partir del potencial termodinámico por unidad de volumen  $\Omega(\mu, T)$ . Este potencial para el gas no

---

<sup>III</sup>Esto no sucede así para un gas de fotones porque en este caso la ausencia de un número cuántico conservado impide la condensación [49].

relativista de bosones se calcula como [56]:

$$\Omega(\mu, T) = -T \int_{\epsilon_{min}}^{\infty} d\epsilon g(\epsilon) \ln \left[ \left( 1 - e^{\frac{\mu - \epsilon}{T}} \right)^{-1} \right], \quad (1.21)$$

donde  $g(\epsilon)$  es la densidad de estados:

$$g(\epsilon) = \sum_{-s}^s \sum_p \delta \left[ \epsilon - \frac{p^2}{2m} \right] = \frac{(2m)^{3/2}}{4\pi^2} \epsilon^{1/2}, \quad 0 \leq \epsilon < \infty. \quad (1.22)$$

Sustituyendo la Ec.(1.22) en la Ec.(1.21) el potencial termodinámico queda:

$$\Omega_{NR}(\mu, T) = - \left( \frac{m}{2\pi} \right)^{3/2} T^{5/2} g_{5/2}(z), \quad (1.23)$$

siendo  $g_{(5/2)} = \sum_{l=1}^{\infty} \frac{z^l}{l^{5/2}}$  la función polylogarítmica de orden 5/2 y  $z = e^{\mu/T}$  la fugacidad. La densidad de partículas se determina derivando la Ec.(1.23) con respecto a  $\mu$ :

$$N(\mu, T, 0) = N_{gs} - \left( \frac{\partial \Omega_{NR}(\mu, T)}{\partial \mu} \right)_T = N_{gs} + \left( \frac{mT}{2\pi} \right)^{3/2} g_{(3/2)}(z). \quad (1.24)$$

Para una densidad fija, la fracción de partículas en el estado fundamental puede calcularse como:

$$\frac{N_{gs}}{N} = \begin{cases} 0 & T > T_c \\ 1 - \left( \frac{T}{T_c} \right)^{3/2} & T < T_c. \end{cases} \quad (1.25)$$

Los parámetros críticos  $T_c(N)$  y  $N_c(T)$ , Ec.(1.26), se obtienen evaluando la Ec.(1.24) en la condición del condensado, que para el gas ideal de bosones no relativistas es  $\mu = 0$ :

$$T_c(N) = \frac{2\pi}{m} \left( \frac{N}{g_{(3/2)}(1)} \right)^{2/3}, \quad N_c(T) = \left( \frac{mT}{2\pi} \right)^{3/2} g_{(3/2)}(1). \quad (1.26)$$

La Figura 1.2 muestra la fracción de partículas en los estados excitados  $N_{NR}/N$  y en el estado fundamental  $N_{gs}/N$  para  $N = 1,30 \times 10^{39} cm^{-3}$ . En la misma se observa que el número de partículas en el condensado es cero siempre que la temperatura esté por encima de  $T_c$ , mientras que por debajo de  $T_c$  las partículas comienzan a caer en el estado de mínima energía. A  $T = 0$ , se obtiene lo que se denomina el condensado puro, es decir, todas las partículas están en el estado fundamental.

El resto de las magnitudes termodinámicas, dígame la presión, la energía interna, la entropía y la la capacidad calorífica por unidad de volumen tienen la forma:

$$P_{NR}(\mu, T) = -\Omega_{NR}(\mu, T), \quad (1.27)$$

$$S_{NR}(\mu, T) = - \left( \frac{\partial \Omega_{NR}(\mu, T)}{\partial T} \right)_\mu = -\frac{5}{2} \frac{\Omega_{NR}}{T} - N \ln z, \quad (1.28)$$

$$E_{NR}(\mu, T) = \Omega_{NR}(\mu, T) + T S_{NR}(\mu, T) - \mu \left( \frac{\partial \Omega_{NR}(\mu, T)}{\partial \mu} \right)_T = -\frac{3}{2} \Omega_{NR}(\mu, T), \quad (1.29)$$

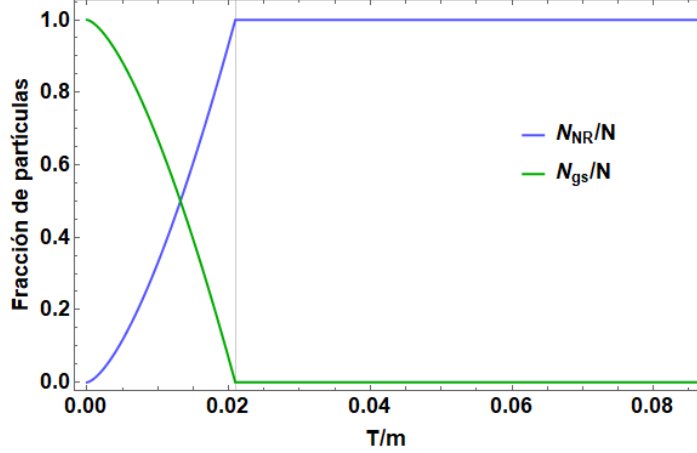


Figura 1.2: Fracción de partículas en función de la temperatura para  $N = 1,30 \times 10^{39} \text{ cm}^{-3}$ . La línea verde es la fracción de partículas en el estado fundamental. La línea azul corresponde a la fracción de partículas no condensadas.

$$C_{V_{NR}}(\mu, T) = \left( \frac{\partial E_{NR}(\mu, T)}{\partial T} \right)_{\mu} = \begin{cases} \frac{15}{4} \left( \frac{m}{2\pi} \right)^{3/2} T^{5/2} g_{(5/2)}(z), & \text{CBE,} \\ \frac{15}{4} N \frac{g_{(5/2)}(z)}{g_{(3/2)}(z)} - \frac{9}{4} N \frac{g_{(3/2)}(z)}{g_{(1/2)}(z)}, & \text{Gas Libre.} \end{cases} \quad (1.30)$$

Como la energía del estado fundamental para el gas no relativista es cero  $\epsilon(p=0) = 0$ , las partículas que se encuentran en este estado no contribuyen a la energía interna del sistema, ni a la presión, ya que no tienen energía cinética ( $p = 0$ ). De la Ec.(1.28) se obtiene que  $S_{NR} = 0$  para  $T = 0$ , lo que está en concordancia con con la Tercera Ley de la Termodinámica [55]. Esto significa que la fase condensada tiene entropía cero. La Figura 1.3 muestra el calor específico por partícula en función de la temperatura. Del gráfico podemos ver el pico bien definido que indica la transición de fase al estado condensado. Por debajo de la temperatura crítica el calor específico decrece como  $T^{3/2}$  y a altas temperaturas tiende a  $3/2$ .

Para que el gas quede completamente descrito termodinámica se hace necesario conocer la dependencia del potencial químico  $\mu(N, T)$  con respecto a la temperatura y la densidad de partículas fuera del estado condensado. Hallar  $\mu(N, T)$  es equivalente a hallar  $z(N, T)$ . El potencial químico puede tomar valores entre  $-\infty < \mu \leq 0$ , luego la fugacidad está acotada entre  $0 < z \leq 1$ , y la condensación ocurre para  $z = 1$ . La expresión de la fugacidad en la fase condensada y de gas libre es:

$$z(N, T, 0) = \begin{cases} 1, & \text{CBE,} \\ N - \left( \frac{mT}{2\pi} \right)^{3/2} g_{(3/2)}(z) = 0, & \text{Gas Libre.} \end{cases} \quad (1.31)$$

### 1.4.2 Gas relativista

El espectro del gas de bosones relativistas no magnetizados se obtiene haciendo  $B = 0$  en la expresión (1.8). En ausencia de campo magnético la simetría esférica es recuperada, por tanto  $p_3^2 + p_{\perp}^2 = p^2$  y

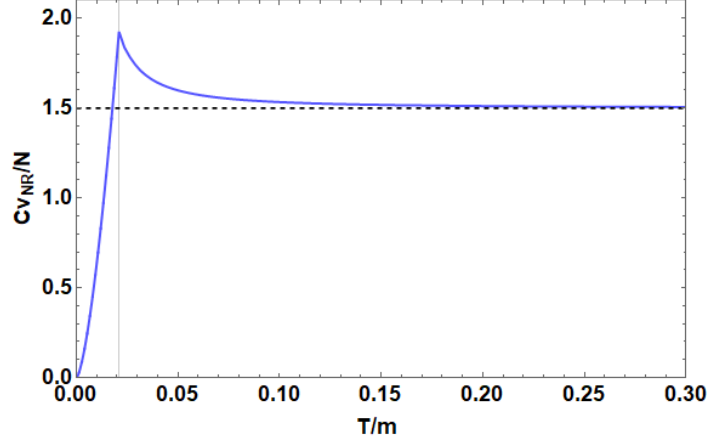


Figura 1.3: Calor específico por partícula como función de la temperatura para el gas de bosones no relativistas a campo magnético cero.

el espectro queda:  $\sqrt{p^2 + m^2}$ . El potencial termodinámico y la densidad de estados son en este caso:

$$\Omega^\pm(\mu, T, 0) = -T \int_{\epsilon_{min}}^{\infty} d\epsilon g_R(\epsilon) \ln \left[ \left( \left( 1 - e^{\frac{\mu - \epsilon}{T}} \right) \left( 1 - e^{\frac{-\mu + \epsilon}{T}} \right) \right)^{-1} \right], \quad (1.32)$$

$$g_R(\epsilon) = \sum_s \sum_{\vec{p}} \delta[\epsilon - \sqrt{p^2 + m^2}] = \frac{4\pi V}{(2\pi)^3} (2s + 1) 2\epsilon \sqrt{\epsilon^2 - m^2}, \quad \epsilon \geq m. \quad (1.33)$$

Haciendo uso de:

$$\ln(1 - x) = - \sum_{n=1}^{\infty} \frac{x^n}{n}, \quad (1.34)$$

y de:

$$\int_u^{\infty} x(x^2 - u^2)^{\nu-1} e^{-\alpha x} dx = 2^{\nu-\frac{1}{2}} (\sqrt{\pi})^{-1} u^{\nu+\frac{1}{2}} \Gamma(\nu) K_{\nu+\frac{1}{2}}, \quad (1.35)$$

el potencial termodinámico queda [37]:

$$\Omega^\pm(\mu, T) = - \left( \frac{m^2 T^2}{2\pi^2} \right) \sum_{n=1}^{\infty} \frac{z^n + z^{-n}}{n^2} K_2(nm/T), \quad (1.36)$$

donde  $K_\alpha$  es la función de MacDonald de orden  $\alpha$ . En la Ec.(1.36) se han tomado en cuenta las antipartículas a través del término  $z^{-n}$ , mientras que  $z^n$  corresponde a las partículas.

La dependencia del potencial químico para el caso relativista es diferente a la no relativista, como se muestra esquemáticamente en el panel derecho de la Figura 1.1. Aquí los valores posibles de  $\mu$  están acotados entre  $0 < \mu \leq m$ , luego la fugacidad podrá tomar valores entre  $1 < z \leq e^{m/T}$ , y el estado condensado se alcanza cuando  $z = e^{m/T}$ .

Las densidades de partículas ( $N^+$ ) y antipartículas ( $N^-$ ) que se obtienen luego de derivar el potencial termodinámico Ec.(1.36) con respecto a  $\mu$  son:

$$N^+(\mu, T) = \frac{m^2 T}{2\pi^2} \sum_{n=1}^{\infty} \frac{z^n}{n} K_2(nm/T), \quad (1.37)$$

$$N^-(\mu, T) = \frac{m^2 T}{2\pi^2} \sum_{n=1}^{\infty} \frac{z^{-n}}{n} K_2(nm/T). \quad (1.38)$$

Donde ahora  $N_{ext} = N^+(\mu, T) - N^-(\mu, T)$  es la densidad carga en los estados excitados. Las ecuaciones (1.37) y (1.38) están en concordancia con las obtenidas en [52, 57]. Como se muestra en el panel derecho de la Figura 1.1, cuando  $T \rightarrow \infty$  el potencial químico tiende a cero  $\mu \rightarrow 0$ , lo que implica  $N^- \rightarrow N^+$  y  $N_{ext} \rightarrow 0$ , esto es lo que se conoce como vacío caliente [58].

La Figura 1.4 muestra la fracción de partículas  $N^+(\mu, T)/N$ , antipartículas  $N^-(\mu, T)/N$  y partículas en el estado fundamental  $N_{gs}/N$  para  $N = 1,30 \times 10^{39} \text{ cm}^{-3}$ .

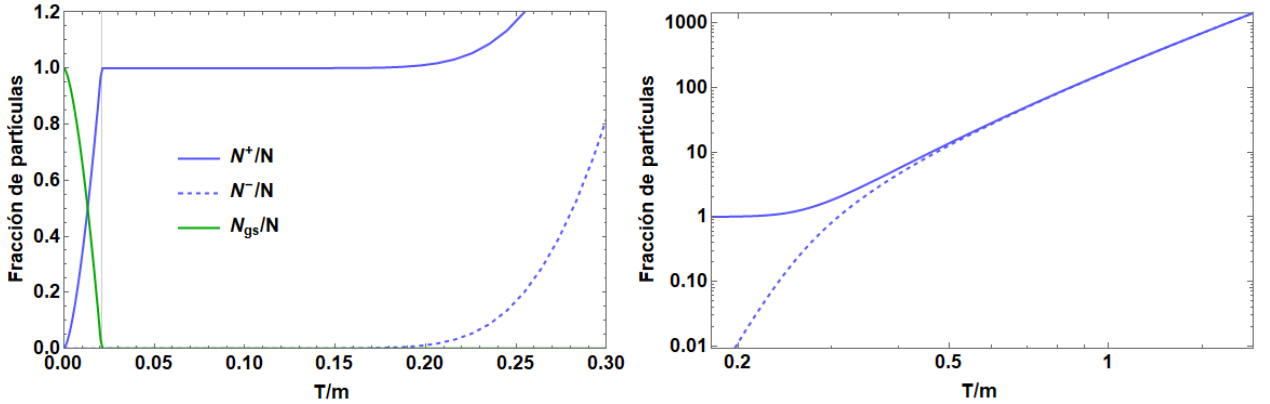


Figura 1.4: Fracción de partículas, antipartículas y partículas en el condensado en función de la temperatura. La línea verde es la fracción de partículas en el estado fundamental. La línea azul continua corresponde a la fracción de partículas y la línea azul discontinua corresponde a la fracción de antipartículas.

El panel derecho de la Figura 1.4 es la continuación en temperatura del panel izquierdo; esta separación se realizó para que los efectos que queremos resaltar puedan observarse mejor. Como podemos ver en el panel izquierdo,  $N_{gs} = 0$ ,  $\forall T > T_c$ , lo que corresponde al gas libre, mientras que  $N_{gs} \neq 0$ ,  $\forall T < T_c$ , lo que corresponde a un estado donde el gas libre y el condensado coexisten. Por otro lado, la contribución de las antipartículas comienza a ser importante para  $T \simeq \frac{1}{5}m$ , mientras que para  $T \gtrsim m$  las fracciones de partículas y antipartículas ya son del mismo orden. Este es el vacío caliente que se mencionó antes. Por tanto, en este rango de temperaturas la presencia de las antipartículas podría tener una influencia importante en algunas propiedades termodinámicas del gas, tales como la presión y la magnetización.

Las expresiones (1.27)-(1.30) para el gas relativista se transforman en:

$$P(\mu, T) = -\Omega^\pm(\mu, T), \quad (1.39)$$

$$S(\mu, T) = -\frac{2}{T}\Omega^\pm(\mu, T) - \frac{\mu}{T}(N^+ - N^-) \quad (1.40)$$

$$+ \frac{m^3}{4\pi^2} \sum_{n=1}^{\infty} \frac{z^n + z^{-n}}{n} [K_1(nm/T) + K_3(nm/T)],$$

$$E(\mu, T) = -\Omega^\pm(\mu, T) \quad (1.41)$$

$$+ \frac{m^3 T}{4\pi^2} \sum_{n=1}^{\infty} \frac{z^n + z^{-n}}{n} [K_1(nm/T) + K_3(nm/T)],$$

$$C_V(\mu, T) = S(\mu, T) + \left\{ \frac{m^3}{4\pi^2} \sum_{n=1}^{\infty} \frac{z^n + z^{-n}}{n} [K_1(nm/T) + K_3(nm/T)] \right. \quad (1.42)$$

$$+ \frac{m^4}{8\pi^2 T} \sum_{n=1}^{\infty} (z^n + z^{-n}) [K_0(nm/T) + 2K_2(nm/T) + K_4(nm/T)]$$

$$\left. - \frac{\mu}{T} \frac{m^3}{4\pi^2} \sum_{n=1}^{\infty} (z^n - z^{-n}) [K_1(nm/T) + K_3(nm/T)] \right\}.$$

La Figura 1.5 muestra el calor específico por partícula en función de la temperatura para el gas relativista. Del gráfico podemos ver el pico bien definido que indica la transición de fase al estado

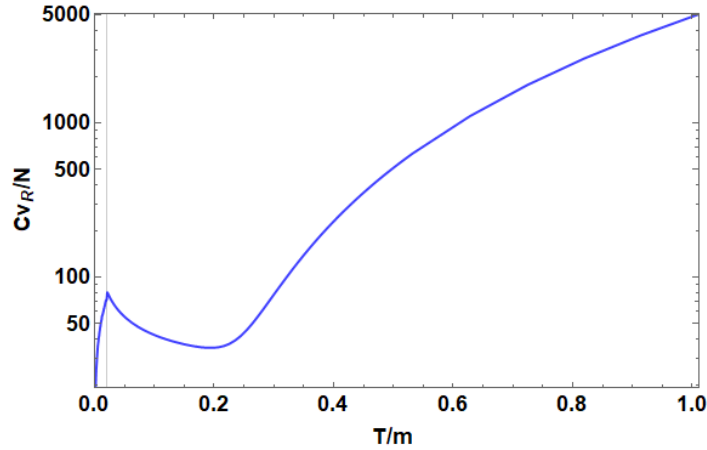


Figura 1.5: Calor específico por partícula como función de la temperatura para el gas de bosones relativistas.

condensado al igual que en el caso no relativista. La principal diferencia con respecto al caso no relativista es que a altas temperaturas  $C_V$  ya no tiende a  $3/2$ , sino que aumenta debido a la presencia de las antipartículas.

En lo que resta de la tesis, los cálculos aquí presentados a  $B = 0$  se extenderán a  $B \neq 0$  para el caso no relativista (Capítulo 2) y el caso relativista (Capítulo 3). Las expresiones a  $B = 0$  serán

usadas para comprobar la validez de las expresiones con campo magnético haciendo  $B \rightarrow 0$  en ellas. Además, el caso  $B = 0$  será incluido en los gráficos para estudiar el efecto del campo magnético en las magnitudes termodinámicas.

## Capítulo 2

# Estudio termodinámico del gas magnetizado de bosones vectoriales neutros en el límite no relativista

En este capítulo se estudian las propiedades termodinámicas de un gas magnetizado de bosones vectoriales neutros en el límite no relativista. Entre ellas, la condensación de Bose-Einstein, que depende de todos los parámetros involucrados en el problema: temperatura, densidad de partículas y campo magnético; las ecuaciones de estado, y las propiedades magnéticas del gas. Este estudio recoge los resultados originales de la autora publicados en [59].

### 2.1 Potencial termodinámico

Partiendo del espectro (1.13),  $\epsilon(p) = \vec{p}^2/2m - skB$ , la densidad de estados del GBVN no relativista en presencia de un campo magnético externo constante y uniforme  $\vec{B} = (0, 0, B)$  se determina por:

$$\begin{aligned} g_{NR}(\epsilon) &= \sum_{s=-1,0,1} \sum_{\vec{p}} \delta\left(\epsilon - \frac{\vec{p}^2}{2m} + skB\right) \\ &= \sum_{\vec{p}} \delta\left(\epsilon - \frac{\vec{p}^2}{2m} - kB\right) + \delta\left(\epsilon - \frac{\vec{p}^2}{2m}\right) + \delta\left(\epsilon - \frac{\vec{p}^2}{2m} + kB\right). \end{aligned} \quad (2.1)$$

Nótese que en (2.1) tenemos tres posibles estados de spin:  $s = -1, 0, 1$ , ya que los bosones son vectoriales. Usando el cambio de sumatoria a integral  $\sum_{\vec{p}} = \frac{V}{(2\pi)^3} \int_{-\infty}^{\infty} dp_x \int_{-\infty}^{\infty} dp_y \int_{-\infty}^{\infty} dp_z$ , y pasando a coordenadas esféricas se obtiene:

$$g_{NR}(\epsilon) = \frac{mV}{2\pi^2} \left[ \int_0^{\infty} p^2 \delta\left(\epsilon - \frac{\vec{p}^2}{2m} + kB\right) dp + \int_0^{\infty} p^2 \delta\left(\epsilon - \frac{\vec{p}^2}{2m}\right) dp + \int_0^{\infty} p^2 \delta\left(\epsilon - \frac{\vec{p}^2}{2m} - kB\right) dp \right]. \quad (2.2)$$

Con el cambio de variables  $x_i = p^2/2m + ikB$ , donde  $i = 0, \pm 1$  y la propiedad  $\int_0^\infty f(x)\delta(x-a)dx = f(a)$  finalmente la densidad de estados queda:

$$g_{NR}(\epsilon) = \frac{mV}{2\pi^2} \left[ \sqrt{2m(\epsilon_- - kB)} + \sqrt{2m\epsilon_0} + \sqrt{2m(\epsilon_+ + kB)} \right], \quad (2.3)$$

$$kB \leq \epsilon_- < \infty, \quad 0 \leq \epsilon_0 < \infty, \quad -kB \leq \epsilon_+ < \infty.$$

Con la densidad de estados obtenida en la Ec.(2.3) se calcula el potencial termodinámico [56]:

$$\Omega_{NR}(\mu, T, B) = -T \int_{\epsilon_{min}}^{\infty} d\epsilon g_{NR}(\epsilon) \ln \left[ \left( 1 - e^{\frac{\mu-\epsilon}{T}} \right)^{-1} \right], \quad (2.4)$$

$$\begin{aligned} \Omega_{NR}(\mu, T, B) = \frac{mV}{2\pi^2} & \left( \int_{kB}^{\infty} d\epsilon \sqrt{2m(\epsilon - kB)} \ln[1 - ze^{-\epsilon/T}] + \int_0^{\infty} d\epsilon \sqrt{2m\epsilon} \ln[1 - ze^{-\epsilon/T}] \right) \\ & + \int_{-kB}^{\infty} d\epsilon \sqrt{2m(\epsilon + kB)} \ln[1 - ze^{-\epsilon/T}]. \end{aligned} \quad (2.5)$$

Nótese que en esta expresión los límites de integración son diferentes de acuerdo con el valor del spin. Luego de integrar por la energía, obtenemos el potencial termodinámico NR dividido en tres sumandos, uno por cada estado de spin:

$$\Omega_{NR}(\mu, T, B) = \Omega_{-NR}(\mu, T, B) + \Omega_{0NR}(\mu, T, B) + \Omega_{+NR}(\mu, T, B), \quad (2.6)$$

$$\Omega_{NR}(\mu, T, B) = - \left( \frac{m}{2\pi} \right)^{3/2} T^{5/2} [g_{5/2}(z_-) + g_{5/2}(z) + g_{5/2}(z_+)] \quad (2.7)$$

donde  $z_i = ze^{i\frac{\kappa B}{T}}$  con  $i = \pm 1$ .

## 2.2 Condensación de Bose-Einstein y propiedades magnéticas

Comenzaremos el estudio de la condensación de Bose-Einstein calculando la densidad de partículas

$$N = N_{gs}(T, B) + N_{NR}(\mu, T, B), \quad (2.8)$$

donde  $N_{gs}$  representa las partículas en el condensado, y  $N_{NR} = -d\Omega_{NR}/d\mu$  las partículas en los estados excitados. Después de hacer la derivada con respecto a  $\mu$  en (2.6), la densidad de partículas toma la forma:

$$N = N_{gs}(T, B) + N_-(\mu, T, B) + N_0(\mu, T, B) + N_+(\mu, T, B), \quad (2.9)$$

$$N = N_{gs}(T, B) + \left( \frac{mT}{2\pi} \right)^{3/2} [g_{3/2}(z_-) + g_{3/2}(z) + g_{3/2}(z_+)]. \quad (2.10)$$

Las curvas de los parámetros críticos  $N_c(T, b)$  y  $T_c(N, b)$  se obtienen evaluando la Ec.(2.10) en la condición del condensado. Para el gas no relativista esta condición es  $\mu = -kB$ , por tanto:

$$N_c = \left( \frac{mT_c}{2\pi} \right)^{3/2} [g_{3/2}(e^{-2kB/T_c}) + g_{3/2}(e^{-kB/T_c}) + g_{3/2}(1)]. \quad (2.11)$$

A partir de la Ec. (2.11), la temperatura crítica del condensado fue calculada numéricamente en función de  $N$  y  $B$  como se muestra en el panel izquierdo en la Figura 2.1.

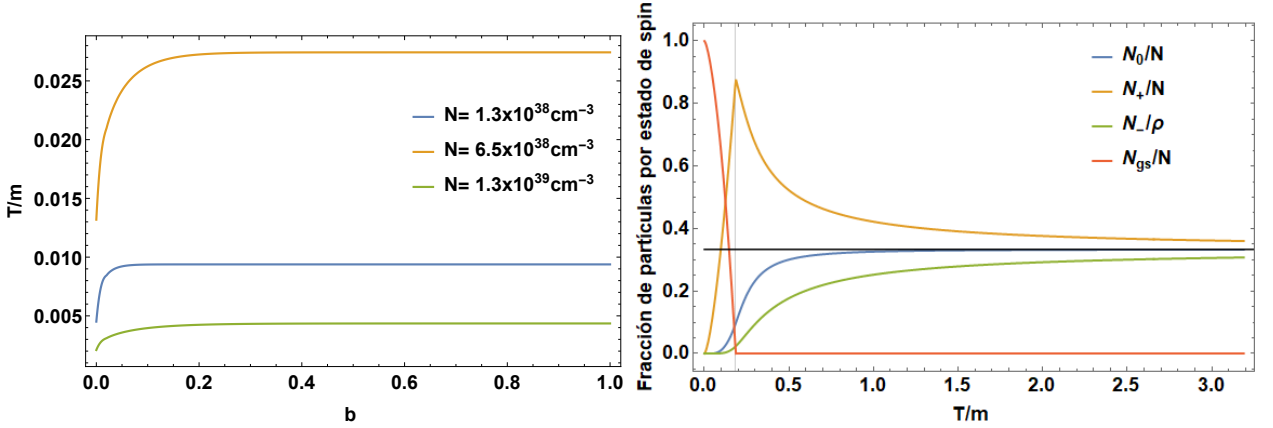


Figura 2.1: Panel izquierdo: temperatura crítica en función del campo magnético para varios valores de la densidad de partículas. Panel derecho: densidad de partículas por estado de spin en función de la temperatura para  $N = 1,30 \times 10^{39} \text{ cm}^{-3}$  y  $b = 0,5$ .

El panel izquierdo de la Figura 2.1 muestra cómo crece la temperatura crítica a partir de su valor en  $B = 0$ :

$$T_c(0) = \frac{2\pi}{m} \left( \frac{N}{3g_{3/2}(1)} \right)^{2/3}, \quad (2.12)$$

hasta la saturación cuando  $B \rightarrow \infty$ :

$$T_c(\infty) = \frac{2\pi}{m} \left( \frac{N}{g_{3/2}(1)} \right)^{2/3}. \quad (2.13)$$

Estos valores extremos de la temperatura crítica del CBE están en concordancia con los obtenidos en [33].

El comportamiento asintótico de  $T_c$  con el aumento del campo magnético nos brinda información valiosa sobre la influencia de  $B$  en el CBE de las partículas no relativistas. En la región de campo magnético débil ( $B \rightarrow 0$ ) el incremento de  $B$  aumenta  $T_c$  de manera notable, lo que lleva al sistema a la condensación. Pero cuando el campo magnético es fuerte, sus cambios apenas afectan la temperatura crítica. Por tanto, a densidad de partículas fija, el efecto del campo magnético en el CBE es aumentar la temperatura crítica, de manera que cuanto más débil es el campo, más sensible es el sistema al

mismo. Nótese también que aunque la temperatura crítica del CBE aumenta con la densidad de partículas, la razón entre los dos valores extremos  $T_c(\infty)/T_c(0) = \sqrt[3]{9}$  es constante.

Es interesante observar el comportamiento de la fracción de partículas en el estado fundamental  $N_{gs}/N$  y por estado de spin  $N_i/N$ ,  $i = -, 0, +$  en función de la temperatura (panel derecho de la Figura 2.1). En la región de alta temperatura,  $T \gg m$ ,  $N_{gs} = 0$  y  $N_i/N \rightarrow 1/3$  para todo  $i$ , debido a que esta región es dominada por el desorden térmico. Cuando  $T$  disminuye, el efecto del campo magnético comienza a notarse y la fracción de partículas con spin alineado al campo magnético, (es decir  $N_+/N$ ), se convierte en la dominante. Este comportamiento continúa a través de la región de baja temperatura  $T \ll m$  siendo el próximo cambio apreciable cuando  $T = T_c$ . En este punto, la fracción de partículas en el estado fundamental deja de ser cero y aumenta con la disminución de la temperatura hasta que alcanza su valor máximo, 1, en  $T = 0$  (donde  $N_i/N = 0$  para todo  $i$ ). Dado que en el estado fundamental  $s = 1$ , se espera que para un gas de bosones vectoriales que ha estado magnetizado, exista una magnetización distinta de cero incluso cuando  $B \rightarrow 0$ . Para verificar esto, calculemos la magnetización del gas:

$$M_{NR}(\mu, T, B) = kN_{gs} - \left( \frac{\partial \Omega_{NR}(\mu, T, B)}{\partial B} \right) = k(N_{gs} + N_+ - N_-), \quad (2.14)$$

y grafiquémosla en la Figura 2.2 a  $N$  fija y varios valores de  $B$ .

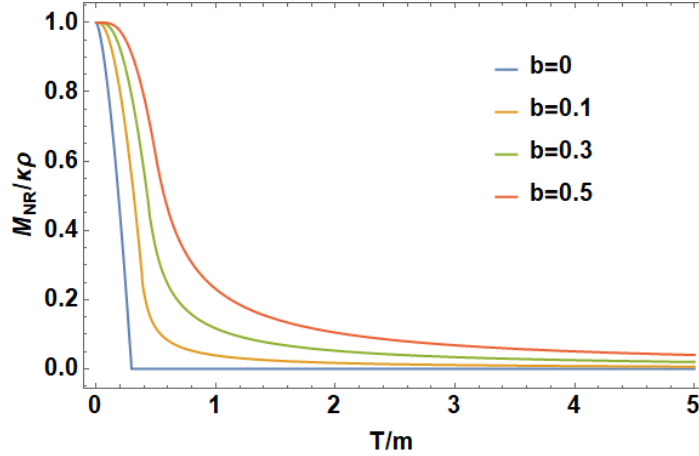


Figura 2.2: Magnetización como función de la temperatura para  $N = 1,30 \times 10^{39} \text{cm}^{-3}$  y diferentes valores del campo magnético.

Las curvas en este gráfico concuerdan con las del panel derecho de la Figura 2.1:  $M \rightarrow 0$  para altas  $T$ , mientras que  $M \rightarrow kN$  cuando  $T \rightarrow 0$ . La característica más sobresaliente de la Figura 2.2 es que esto sucede también para  $B = 0$ , es decir, el gas muestra una magnetización espontánea que en este caso no se debe a una interacción entre el spin de las partículas sino al condensado, pues para  $B = 0$ ,  $M \neq 0$  solo cuando  $T < T_c$ . Este fenómeno, conocido como ferromagnetismo de Bose-Einstein [33, 60], es un resultado de gran relevancia astrofísica, pues la magnetización espontánea podría funcionar como fuente de campo magnético en el interior de los objetos compactos.

La aparición de una magnetización espontánea también se puede obtener mediante la sustitución directa de  $B = 0$  en la ecuación (2.14), que da  $M(B = 0) = kN_{gs}$ , y su conexión con el condensado puede estudiarse a partir del comportamiento del calor específico y la susceptibilidad magnética del gas.

Para  $T < T_c$  el calor específico por unidad de volumen tiene la forma:

$$C_{VNR}(\mu = -kB, T, B) = \frac{3}{2}S_{NR} - \frac{3}{2} \frac{kB}{T} [N_+ - N_-] + 2 \left( \frac{kB}{T} \right)^2 \left( \frac{mT}{2\pi} \right)^{3/2} g_{1/2}(e^{-2kB/T}), \quad (2.15)$$

mientras que para  $T > T_c$ :

$$C_{VNR}(\mu, T, B) = \frac{15}{4} N \frac{g_{5/2}(z_-) + g_{5/2}(z) + g_{5/2}(z_+)}{g_{3/2}(z_-) + g_{3/2}(z) + g_{3/2}(z_+)} - \frac{9}{4} N \frac{\frac{[g_{3/2}(z_-)]^2}{g_{1/2}(z_-)} + \frac{[g_{3/2}(z)]^2}{g_{1/2}(z)} + \frac{[g_{3/2}(z_+)]^2}{g_{1/2}(z_+)}}{g_{3/2}(z_+) + g_{3/2}(z) + g_{3/2}(z_+)}. \quad (2.16)$$

En ambos casos el procedimiento para obtener  $C_{VNR}$  resulta bastante largo; sus detalles se muestran en el Apéndice A.

Por otra parte, para calcular la susceptibilidad magnética basta derivar (2.14) con respecto a  $B$ . Teniendo en cuenta que  $\frac{\partial}{\partial B} g_\nu(z_i) = \frac{k}{T} g_{\nu-1}(z_i)$ , se obtiene:

$$\chi_{NR}(\mu, T, B) = \begin{cases} 2 \frac{k^2}{T\lambda^3} g_{1/2}(e^{-2kB/T}), & \text{CBE,} \\ \frac{k^2}{T\lambda^3} [g_{1/2}(z_+) + g_{1/2}(z_-)], & \text{Gas Libre.} \end{cases} \quad (2.17)$$

La Figura 2.3 muestra el calor específico y la susceptibilidad magnética en función de la temperatura para varios valores del campo magnético. Los máximos de ambas magnitudes ocurren a

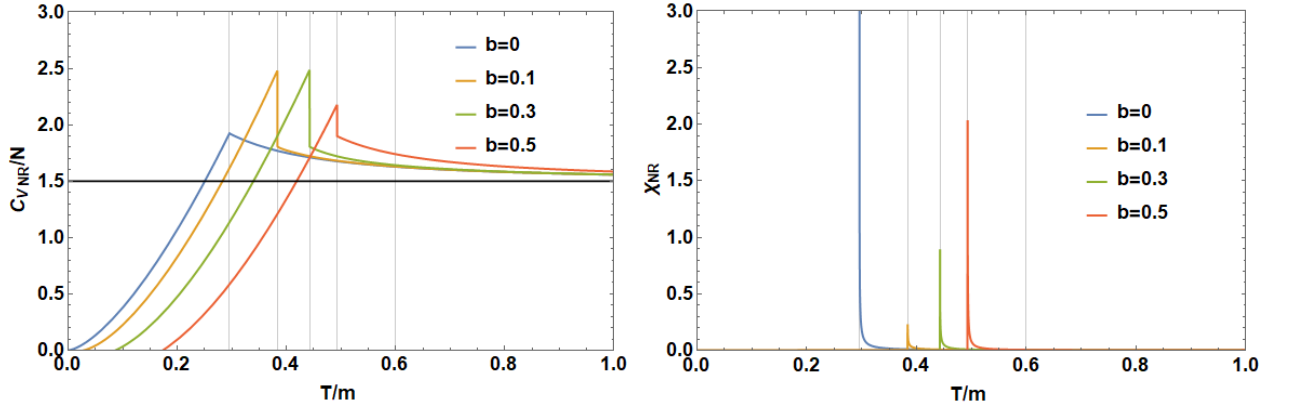


Figura 2.3: Calor específico y susceptibilidad magnética en función de la temperatura para varios valores del campo magnético y  $N = 1.30 \times 10^{39} \text{cm}^{-3}$ .

$T_c$ , señalando así la transición de fase al condensado ferromagnético. A medida que  $B$  aumenta,  $T_c$  también y ello se refleja en un movimiento en la posición de los máximos de  $C_{VNR}$  y  $\chi_{NR}$  de  $T_0$  hacia  $T_\infty$ . En el límite de alta temperatura  $T \gg m$  el calor específico tiende a  $3/2$  como predice la teoría clásica de los gases.

Una cuestión interesante, también relacionada con el ferromagnetismo de Bose-Einsten, aparece cuando hacemos el campo magnético cero en la Ec.(2.17). En la región no condensada  $z_- = e^{-2kB/T}$ , en consecuencia si  $B = 0 \implies z_- = 1$ . La función polilogarítmica de orden 1/2 diverge en 1, por tanto, en toda esta región la susceptibilidad magnética está indefinida:

$$\chi(\mu, T, 0) = \begin{cases} \infty, & \text{CBE,} \\ 2\frac{2\kappa^2}{T\lambda^3}g_{1/2}(z), & \text{Gas Libre.} \end{cases} \quad (2.18)$$

### 2.3 Ecuaciones de estado

Como consecuencia de la ruptura de la simetría rotacional  $SO(3)$  producida por el campo magnético, el tensor de energía-momento de un gas cuántico magnetizado se vuelve anisotrópico y la presión se separa en dos componentes, una paralela,  $P_{\parallel}$ , y la otra perpendicular,  $P_{\perp}$ , al eje magnético (ecuaciones (2.20) y (2.21)) [61]. Luego las EdE para el GBVN magnetizado en el límite no relativistas son:

$$E_{NR}(\mu, T, B) = \Omega_{NR}(\mu, T, B) + \mu N - TS_{NR}(\mu, T, B), \quad (2.19)$$

$$P_{\parallel NR}(\mu, T, B) = -\Omega_{NR}(\mu, T, B), \quad (2.20)$$

$$P_{\perp NR}(\mu, T, B) = -\Omega_{NR}(\mu, T, B) - \mathcal{M}_{NR}(\mu, T, B)B. \quad (2.21)$$

La entropía del gas bajo estudio es:

$$S_{NR}(\mu, T, B) = - \left( \frac{\partial \Omega_{NR}(\mu, T, B)}{\partial T} \right)_{\mu, B} = -\frac{5}{2} \frac{\Omega_{NR}(\mu, T, B)}{T} - \mu \frac{N_{NR}(\mu, T, B)}{T} - \kappa B \frac{N_+ - N_-}{T}. \quad (2.22)$$

Combinando la Ec. (2.7) y las Ecs. (2.10) y (2.22), llegamos a la densidad de energía:

$$E_{NR}(\mu, T, B) = -\frac{3}{2}\Omega_{NR}(\mu, T, B) - kB[N_+ - N_-], \quad (2.23)$$

Las EdE, Ecs. (2.20), (2.21) y (2.23), pueden usarse para modelar objetos compactos magnetizados cuya composición incluya bosones magnetizados que admitan una descripción no relativista. Sin embargo, debe tenerse en cuenta que en dependencia de la temperatura, el campo magnético y la densidad de partículas, la presión perpendicular puede ser negativa. El panel izquierdo de la Figura 2.4 muestra las presiones en función del campo magnético para  $N = 1,3 \times 10^{39} \text{cm}^{-3}$  y varios valores de la temperatura. Para campo magnético cero,  $P_{\parallel} = P_{\perp}$  y el sistema es isotrópico. Si  $B \neq 0$  la diferencia entre las presiones aumenta cuando disminuye la temperatura o aumenta el campo magnético. A partir de este gráfico es evidente que el campo magnético apenas afecta la presión paralela, mientras que su contribución es muy importante para la perpendicular. Desde un punto de vista microscópico, esto se debe a que el campo magnético disminuye el momento perpendicular de las partículas, pero no afecta el paralelo. Macroscópicamente, este efecto se expresa en el término sustractivo  $-M_{NR}B$  (tenga en cuenta que  $M_{NR} > 0$ ) que aparece en la presión perpendicular. Es por eso que  $P_{\perp}$  siempre es menor que  $P_{\parallel}$  y disminuye hasta valores negativos con el aumento del campo magnético. Dado

que el efecto de una presión perpendicular negativa es empujar las partículas hacia el eje magnético, esto puede interpretarse como que el sistema se vuelve inestable. Este tipo de inestabilidad se ha observado previamente en otros gases cuánticos magnetizados y se conoce como colapso magnético transversal [42, 61–64].

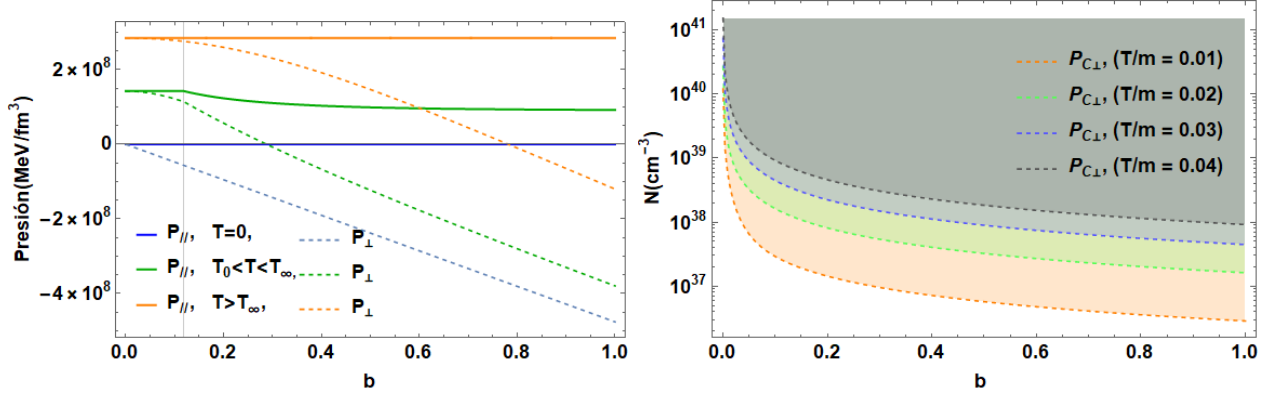


Figura 2.4: Panel izquierdo: presiones paralela y perpendicular en función del campo magnético para diferentes valores de temperatura y  $N = 1.30 \times 10^{39} \text{cm}^{-3}$ . Panel derecho: diagrama de fases para el colapso magnético transversal para varios valores de la temperatura; las líneas discontinuas representan la solución de  $P_{\perp}(T, B, N) = 0$  a temperatura fija; para cada temperatura, la región de inestabilidad ha sido sombreada.

El panel derecho de la Figura 2.4 muestra el diagrama de fases del colapso magnético en el plano del campo magnético y la densidad de partículas, para varios valores de la temperatura. Las líneas discontinuas representan la solución de  $P_{\perp}(T, B, N) = 0$  a una temperatura fija. El gas es estable en la región por debajo de las líneas e inestable sobre ellas. En  $T \neq 0$  y  $B = 0$ , se necesita un número infinito de partículas para que el sistema se vuelva inestable, un resultado esperado ya que el campo magnético es la causa de la inestabilidad. Cuando  $T = 0$  y  $B \neq 0$ ,  $P_{||} = 0$  y  $P_{\perp} = -M_{NR}B$  siempre es negativa, es decir, el estado condensado puro es inestable para cualquier valor del campo magnético distinto de cero. En el caso de que ambos, la temperatura y el campo magnético, sean diferentes de cero, la disminución de la temperatura favorece el colapso, así como el aumento del campo magnético. Además, la Figura 2.4 también muestra que el colapso se ve favorecido por el aumento de la densidad de partículas, ya que cuanto más denso es el gas, mayores son  $M_{NR}$  y  $T_C$ . En consecuencia, para una temperatura y un campo magnético fijos, el aumento de  $N$  disminuye la presión térmica  $-\Omega_{NR}(\mu, T, B)$  y aumenta la presión magnética  $-M_{NR}B$ , llevando a  $P_{\perp}$  a tomar valores negativos. En este sentido, el colapso impone un límite superior a las densidades de partículas que pueden existir dentro de estrellas compactas con un campo magnético dado. No obstante, es importante señalar que dada la composición heterogénea de las estrellas, la aparición o no del colapso magnético dependerá de las presiones y, por lo tanto, de la respuesta magnética de todas las especies presentes.

## Capítulo 3

# Estudio termodinámico del gas magnetizado de bosones vectoriales neutros relativistas

Este capítulo está dedicado a las propiedades termodinámicas del gas relativista de bosones vectoriales neutros en presencia de un campo magnético constante y uniforme. En él se obtienen las expresiones analíticas de las magnitudes termodinámicas a toda temperatura y se investiga la influencia de las antipartículas y el campo magnético en la condensación de Bose-Einstein, en la magnetización y en las ecuaciones de estado del sistema. Al mismo tiempo, se estudian la validez del límite no relativista discutido en el capítulo anterior y del límite de baja temperatura tomado en [25]. Este capítulo también recoge resultados originales de la autora, algunos de los cuales ya se encuentran publicados en [65].

### 3.1 Extensión a toda temperatura. Magnitudes termodinámicas

El potencial termodinámico por unidad de volumen del gas de bosones vectoriales neutros relativistas en presencia de un campo magnético externo constante y uniforme  $\vec{B} = (0, 0, B)$ , fue previamente obtenido en [25]. El potencial termodinámico del gas relativista,  $\Omega^\pm(\mu, T, b)$ , puede separarse en dos términos:

$$\Omega^\pm(\mu, T, b) = \Omega_{st}(\mu, T, b) + \Omega_{vac}(b). \quad (3.1)$$

En la expresión anterior  $\Omega_{st}(\mu, T, b)$  representa la contribución estadística, que puede ser escrita en función de la contribución de las partículas y antipartículas,  $\Omega_{st}(\mu, T, b) = \Omega_{st}^+(\mu, T, b) + \Omega_{st}^-(\mu, T, b)$ , siendo:

$$\Omega_{st}^+(\mu, T, b) = - \sum_s \sum_{n=1}^{\infty} \frac{z^n}{n^2} \left\{ \frac{y_0^2 T^2}{2\pi^2} K_2(ny_0/T) + \frac{\alpha n T}{2\pi^2} \int_{y_0}^{\infty} \frac{x^2}{\sqrt{x^2 + \alpha^2}} K_1(nx/T) \right\}, \quad (3.2)$$

$$\Omega_{st}^-(\mu, T, b) = - \sum_s \sum_{n=1}^{\infty} \frac{z^{-n}}{n^2} \left\{ \frac{y_0^2 T^2}{2\pi^2} K_2(ny_0/T) + \frac{\alpha n T}{2\pi^2} \int_{y_0}^{\infty} \frac{x^2}{\sqrt{x^2 + \alpha^2}} K_1(nx/T) \right\}, \quad (3.3)$$

donde  $y_0 = m\sqrt{1-sb}$  y  $\alpha = mbs/2$ . El segundo término de la Ec. (3.1) es la contribución del vacío y se escribe:

$$\begin{aligned} \Omega_{vac}(b) = & -\frac{m^4}{288\pi} (b^2(66 - 5b^2) - 3(6 - 2b - b^2)(1 - b)^2 \ln(1 - b) \\ & - 3(6 + 2b - b^2)(1 + b)^2 \ln(1 + b)). \end{aligned} \quad (3.4)$$

Como se puede apreciar de la Ec.(3.4), la contribución de vacío se anula cuando  $b = 0$ , es por ello que no se mencionó al realizar el estudio del GBVN a campo cero en el epígrafe 1.4.2.

El estudio llevado a cabo en [25] toma el límite  $T \ll m$  en la Ec. (3.1) para luego obtener las magnitudes termodinámicas. El potencial termodinámico estadístico y las ecuaciones de estado que se obtienen al hacer el límite de baja temperatura son:

$$\Omega_{st}^{T \ll m}(\mu', T, b) = \frac{(m\sqrt{1-b})^{3/2} T^{5/2}}{2^{1/2} \pi^{3/2} (2-b)} g_{5/2}(e^{\mu'/T}), \quad (3.5)$$

$$N^{T \ll m}(\mu', T, b) = \frac{(m\sqrt{1-b})^{3/2} T^{3/2}}{2^{1/2} \pi^{3/2} (2-b)} g_{3/2}(e^{\mu'/T}), \quad (3.6)$$

$$E^{T \ll m}(\mu', T, b) = m\sqrt{1-b} N + \Omega_{vac}(b) - \frac{3}{2} \Omega_{st}^{T \ll m}(\mu', T, b) + T \frac{\partial \mu'}{T}, \quad (3.7)$$

$$P_{\parallel}^{T \ll m}(\mu', T, b) = -\Omega_{st}^{T \ll m}(\mu', T, b) - \Omega_{vac}(b), \quad (3.8)$$

$$P_{\perp}^{T \ll m}(\mu', T, b) = P_{\parallel}^{T \ll m}(\mu', T, b) - bB_c \mathcal{M}^{T \ll m}(\mu', T, b), \quad (3.9)$$

$$\mathcal{M}^{T \ll m}(\mu', T, b) = \frac{kN}{\sqrt{1-b}} - \frac{kT^{3/2}}{2^{3/2} \pi^2 (1-b)^{3/2}} g_{3/2}(e^{\mu'/T}) + \mathcal{M}_{vac}(b), \quad (3.10)$$

con:

$$\mu' \simeq -\frac{\zeta(3/2)T}{4\pi} \left( 1 - \left( \frac{T_c^{T \ll m}}{T} \right)^{3/2} \right) \Theta(T - T_c^{T \ll m}), \quad (3.11)$$

y:

$$T_c^{T \ll m} = \frac{1}{m\sqrt{1-b}} \left( \frac{2^{1/2} \pi^{3/2} (2-b) N}{\zeta(3/2)} \right)^{2/3}. \quad (3.12)$$

En la Ec.(3.11),  $\Theta(x)$  es la función paso unitario de Heaviside y  $\mathcal{M}_{vac}(b)$  viene dada por la Ec.(3.25).

A diferencia de lo que se hizo en [25], en los próximos epígrafes de la tesis partiremos de las expresiones generales Ecs. (3.2) y (3.3) para obtener las magnitudes termodinámicas a toda temperatura.

## 3.2 Antipartículas

La consecuencia más importante de usar las Ecs. (3.2) y (3.3) en lugar de su límite de baja temperatura es que en ellas se conserva la contribución de las antipartículas. Para tener una idea de cómo la presencia del campo magnético afecta la aparición de las antipartículas, estudiaremos la densidad de partículas relativista, que se escribe:  $N = N_{gs} + N_{st}(\mu, T, b)$ , donde  $N_{gs}$  es la densidad de partículas en el estado fundamental y  $N_{st}(\mu, T, b) = N^+(\mu, T, b) - N^-(\mu, T, b)$  es la derivada con respecto a  $\mu$  de los potenciales termodinámicos (3.2) y (3.3), y representa la densidad total de partículas en los estados excitados:

$$N_{st}(\mu, T, b) = \sum_s \sum_{n=1}^{\infty} \frac{z^n - z^{-n}}{n} \left\{ \frac{y_0^2 T}{2\pi^2} K_2(ny_0/T) + \frac{\alpha n}{2\pi^2} \int_{y_0}^{\infty} \frac{x^2}{\sqrt{x^2 + \alpha^2}} K_1(nx/T) \right\}. \quad (3.13)$$

La Figura 3.1 muestra la fracción de partículas  $N^+(\mu, T, b)/N$  y antipartículas  $N^-(\mu, T, b)/N$  no condensadas para  $N = 1,30 \times 10^{39} \text{cm}^{-3}$  y varios valores de campo magnético. Como se vio en el

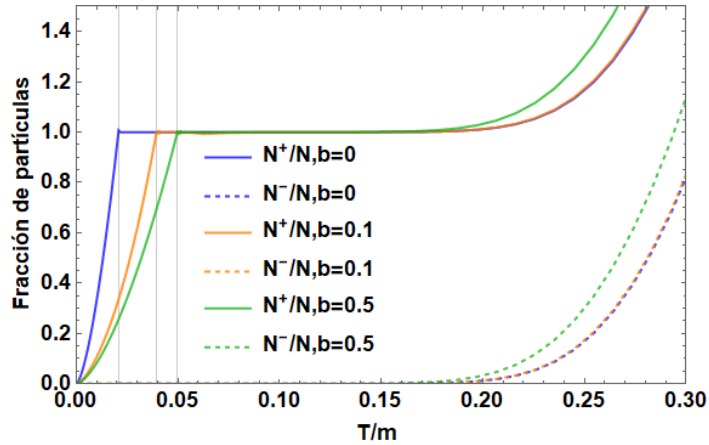


Figura 3.1: Fracción de partículas y antipartículas no condensadas en función de la temperatura para varios valores de campo magnético. Las líneas continuas corresponden a la fracción de partículas y las discontinuas a la de antipartículas. Las líneas horizontales señalan la temperatura crítica  $T_c(b)$ .

Capítulo 1, la densidad de antipartículas comienza a ser apreciable para temperaturas tales que  $T \gtrsim m/5$  (Figura 1.4). La nueva información aportada por la Figura 3.1 es que el campo magnético favorece la aparición de las antipartículas. No obstante, para que este efecto sea apreciable se requieren campos magnéticos cercanos al crítico (nótese que las curvas para  $b = 0$  y  $b = 0,1$  son prácticamente iguales).

## 3.3 Condensación de Bose-Einstein

Para estudiar el efecto del campo magnético y de las antipartículas, así como las consecuencias de tomar el límite de baja temperatura, en la condensación de Bose-Einstein, compararemos la curva

crítica  $N_c(T, b)$  que se obtiene a partir de la expresión (3.13) con las obtenidas en el límite no relativista (Capítulo 2) y en el límite de baja temperatura estudiado en [25]. A fin de facilitar la lectura de los gráficos, utilizaremos la siguiente nomenclatura: (R) para referirnos al gas relativista a toda temperatura, (NR) para la aproximación no relativista y (BT) para el límite de baja temperatura.

La curva  $N_c(T, b)$  se obtiene evaluando la densidad de partículas en la condición del condensado. Para el gas relativista esta condición es  $\mu = m\sqrt{1-b}$ , por tanto:

$$N_c(T, b) = \sum_s \sum_{n=1}^{\infty} \frac{e^{nm\sqrt{1-b}/T} - e^{-nm\sqrt{1-b}/T}}{n} \left\{ \frac{y_0^2 T}{2\pi^2} K_2(ny_0/T) + \frac{\alpha n}{2\pi^2} \int_{y_0}^{\infty} \frac{x^2}{\sqrt{x^2 + \alpha^2}} K_1(nx/T) \right\}. \quad (3.14)$$

La Figura 3.2 muestra el diagrama de fases del condensado en el plano  $N - T$  para  $B = 0$  y  $B = 10^{16}$  G. A  $B=0$  hay una diferencia muy notable entre el límite de baja temperatura y los otros

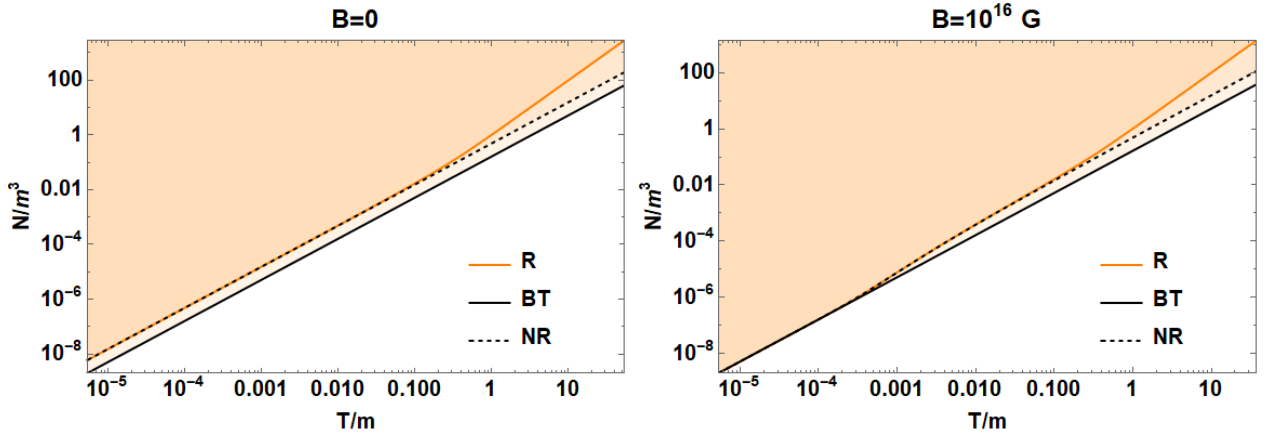


Figura 3.2: Diagrama de fases del condensado. La región blanca corresponde al estado de gas libre. La región sombreada corresponde al condensado. Las líneas señalan las curvas críticas  $N_c(T, b)$  para diferentes descripciones del gas de bosones vectoriales neutros.

dos casos. Esto se debe a que al tomar el límite  $T \ll m$  en el potencial termodinámico, se desprecian los términos correspondientes a los estados de spin  $s = 0, -1$ , y el único término que sobrevive es el del estado  $s = 1$ . Como consecuencia, una vez tomado el límite de baja temperatura en presencia de campo magnético no es posible recuperar las expresiones de campo cero haciendo  $b = 0$  en las Ecs.(3.5-3.10). Por tanto, es de esperar que este límite solo funciones bien a campos magnéticos relativamente fuertes. En este sentido, las expresiones para toda temperatura obtenidas en la tesis, Ec.(3.13-3.29), tienen la fortaleza de que no implican ninguna pérdida de información relacionada con el spin. Por otra parte, para  $B = 0$  la curva relativista y no relativista se separan alrededor de  $T \sim m$ , indicando la importancia de las antipartículas a esas temperaturas.

A  $B = 10^{16}$  G la curva crítica en el límite de baja temperatura comienza a diferenciarse de las otras dos para  $T \gtrsim 10^{-3}m$ , demostrando que para este valor de campo magnético existe una región de temperatura en donde el límite  $T \ll m$  sí es apropiado. Al igual que para campo cero, las curvas relativista y no relativista se separan alrededor de  $T \sim m$ . La Figura 3.2 aporta dos valores relevantes

de temperatura:  $T \sim 10^{-3}m$ , que señala el momento en que los efectos de la temperatura comienzan a ser relevantes en el gas magnetizado, y  $T \sim m$  que marca el punto en que los efectos relativistas (la presencia de las antipartículas) deben tomarse en cuenta. Por último, vale la pena señalar que los resultados mostrados en la Figura 3.2 concuerdan con los del epígrafe 1.3, donde se mostró que para que el gas de Bose se condense a temperaturas relativistas  $T_c \gg m$  se debe cumplir  $N_c \gg m^3$ .

Estudiemos ahora con mayor profundidad cómo afecta el campo magnético la validez de los límites NR y BT. Para ello fijemos la densidad de partículas en  $N = 1,30 \times 10^{39} \text{cm}^{-3}$  y grafiquemos la temperatura crítica del condensado como función del campo magnético (Figura 3.3). La Figura

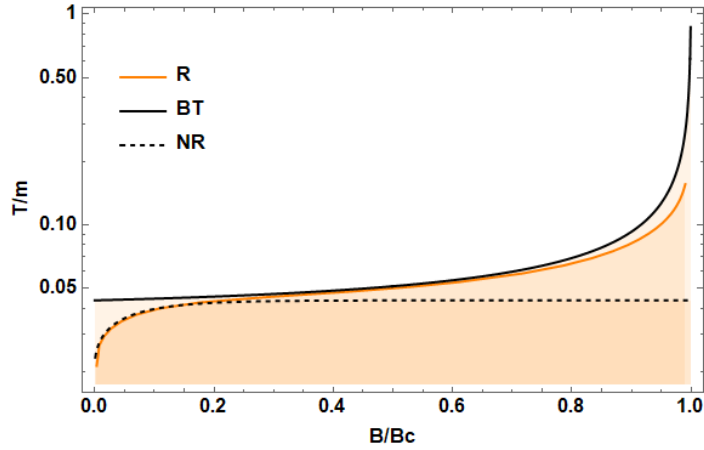


Figura 3.3: Temperatura crítica del CBE como función del campo magnético para  $N = 1,30 \times 10^{39} \text{cm}^{-3}$ . La región blanca corresponde al estado de gas libre. La región sombreada corresponde al estado condensado. Las líneas corresponden a las curvas críticas  $T_c(b)$  para diferentes descripciones del gas de bosones vectoriales neutros.

3.3 muestra que el comportamiento asintótico de la  $T_c$  no relativista con el aumento del campo magnético constituye una diferencia importante entre este y los casos relativistas. En estos últimos, la temperatura crítica siempre aumenta con  $b$  y diverge cuando  $b \rightarrow 1$  (es decir cuando  $B \rightarrow B_c$ ). El comportamiento distinto de la curva no relativista a campo fuerte es una consecuencia de suponer  $kB \ll m$  para la obtención del espectro no relativista, lo que significa que en este caso el campo magnético se considera débil. Por tanto, es natural que en el límite NR no se describa bien la región de campo fuerte.

Por otra parte, para  $B \lesssim 0,2B_c$  la curva del límite de baja temperatura comienza a discrepar de las curvas relativista y no relativista. Esto era de esperarse, pues ya sabemos que este límite no funciona bien a medida que  $b \rightarrow 0$ . Sin embargo, cuando el campo magnético es lo suficientemente fuerte para que los efectos de la temperatura no sean los dominantes, el comportamiento del gas en el límite de baja temperatura no difiere del obtenido para toda temperatura. Como ya habíamos dicho antes, al tomar el límite de baja temperatura se desprecian los términos correspondientes a los estados de spin  $s = 0, -1$  y el único estado que sobrevive es el  $s = 1$ . Esto es análogo a hacer una aproximación de campo fuerte, por lo que es lógico que el límite de baja temperatura no describa correctamente la

región de campo débil. Por lo tanto, otra fortaleza de la tesis consiste en que las expresiones para toda temperatura obtenidas en ella describen correctamente tanto la región de campo débil como la de campo fuerte. Finalmente, nótese que hacer  $b = 0$  en la Ec.(3.12) es análogo a hacer  $b \rightarrow \infty$  en la expresión de la  $T_c$  no relativista Ec.(2.13), pues al aumentar el campo magnético se favorece al estado de spin  $s = 1$ .

### 3.4 Propiedades magnéticas

La magnetización del gas relativista puede escribirse como la suma de tres términos: la magnetización estadística  $\mathcal{M}_{st}(\mu, T, b)$ , la del vacío  $\mathcal{M}_{vac}(b)$  y la de las partículas que se encuentran en el estado básico  $\mathcal{M}_{gs}(T, b)$ :

$$\mathcal{M}^\pm(\mu, T, b) = \mathcal{M}_{st}(\mu, T, b) + \mathcal{M}_{vac}(b) + \mathcal{M}_{gs}(T, b). \quad (3.15)$$

La contribución estadística se calcula derivando  $\Omega_{st}(\mu, T, b)$  con respecto al campo magnético. Para ello reescribamos el potencial termodinámico estadístico de la siguiente manera:

$$\Omega_{st}(\mu, T, b) = - \sum_s \sum_{n=1}^{\infty} \frac{z^n + z^{-n}}{n} \left\{ \frac{A_1(T, b)}{n} + A_2(T, b) \right\}, \quad (3.16)$$

donde:

$$A_1(T, b) = \frac{m^2(1-bs)T}{2\pi^2} K_2(nm\sqrt{1-bs}/T), \quad (3.17)$$

$$A_2(T, b) = \frac{mbsT}{4\pi^2} \int_{m\sqrt{1-bs}}^{\infty} \frac{x^2}{\sqrt{x^2 + (mbs/2)^2}} K_2(nx/T) dx. \quad (3.18)$$

Entonces, la contribución estadística a la magnetización queda:

$$\mathcal{M}_{st}(\mu, T, b) = - \frac{\partial \Omega_{st}(\mu, T, b)}{\partial b} \frac{\partial b}{\partial B} = \frac{2k}{m} \sum_s \sum_{n=1}^{\infty} \frac{z^n + z^{-n}}{n} \left\{ \frac{1}{n} \frac{\partial A_1(T, b)}{\partial b} + \frac{\partial A_2(T, b)}{\partial b} \right\}. \quad (3.19)$$

La derivada de la expresión (3.17) es:

$$\frac{\partial A_1(T, b)}{\partial b} = \frac{m^2 y_0 n s T}{4\pi^2} K_1(ny_0/T), \quad (3.20)$$

mientras que para derivar la integral de la expresión (3.18) utilizaremos la siguiente propiedad:

$$\frac{\partial}{\partial x} \int_{a(x)}^{b(x)} f(x, t) dt = \int_{a(x)}^{b(x)} \frac{\partial}{\partial x} [f(x, t)] dt + f[b(x)]b'(x) - f[a(x)]a'(x). \quad (3.21)$$

Con ella la derivada de (3.17) queda:

$$\frac{\partial A_1(T, b)}{\partial b} = \frac{msT}{4\pi^2} \int_{y_0}^{\infty} \frac{x^2}{\sqrt{x^2 + \alpha^2}} K_1(nx/T) dx - \frac{\alpha^3 T}{2\pi^2 b} \int_{y_0}^{\infty} \frac{x^2}{(x^2 + \alpha^2)^{3/2}} K_1(nx/T) dx \quad (3.22)$$

$$+ \frac{\alpha^2 y_0 T}{\pi^2 b(2-bs)} K_1(ny_0/T), \quad (3.23)$$

con lo cual se obtiene, después de simplificar:

$$\mathcal{M}_{st}(\mu, T, b) = \sum_s \sum_{n=1}^{\infty} \frac{z^n + z^{-n}}{n} \left\{ \frac{my_0 k s T}{\pi^2 (2 - bs)} K_1(ny_0/T) + \frac{ksT}{2\pi^2} \int_{y_0}^{\infty} \frac{x^4}{(x^2 + \alpha^2)^{3/2}} K_1(nx/T) dx \right\}. \quad (3.24)$$

De esta expresión es evidente que las partículas/antipartículas en el estado con spin perpendicular al campo magnético, es decir con  $s = 0$ , no contribuyen a la magnetización del gas.

La contribución del vacío se calcula derivando la Ec.(3.4) con respecto al campo magnético:

$$\mathcal{M}_{vac}(b) = -\frac{km^3}{72\pi} (7b(b^2 - 6) - 3(2b^3 - 9b + 7) \log(1 - b) - 3(2b^3 - 9b - 7) \log(1 + b)). \quad (3.25)$$

Para obtener la contribución de las partículas que se encuentran en el estado fundamental multiplicamos el momento magnético efectivo de cada partícula  $d = k/\sqrt{1 - b}$ , que aumenta con la intensidad del campo magnético, por la densidad de partículas que se encuentran en ese estado:

$$\mathcal{M}_{gs}(T, b) = \frac{k}{\sqrt{1 - b}} N_{gs}(T, b). \quad (3.26)$$

Sustituyendo las Ecs.(3.24), (3.25) y (3.26) en la Ec.(3.15) obtenemos la magnetización total del gas relativista a toda temperatura.

La Figura 3.6 muestra la magnetización como función de la temperatura para las diferentes descripciones del gas de bosones vectoriales neutros. En el gráfico hemos incluido a modo de referencia la contribución del vacío. Los cálculos se hicieron para  $N = 1,30 \times 10^{39} \text{cm}^{-3}$  y dos valores de campo magnético,  $B = 10^{18} \text{G}$  y  $B = 5 \times 10^{18} \text{G}$ . Para  $B = 10^{18} \text{G}$  la magnetización del vacío es despre-

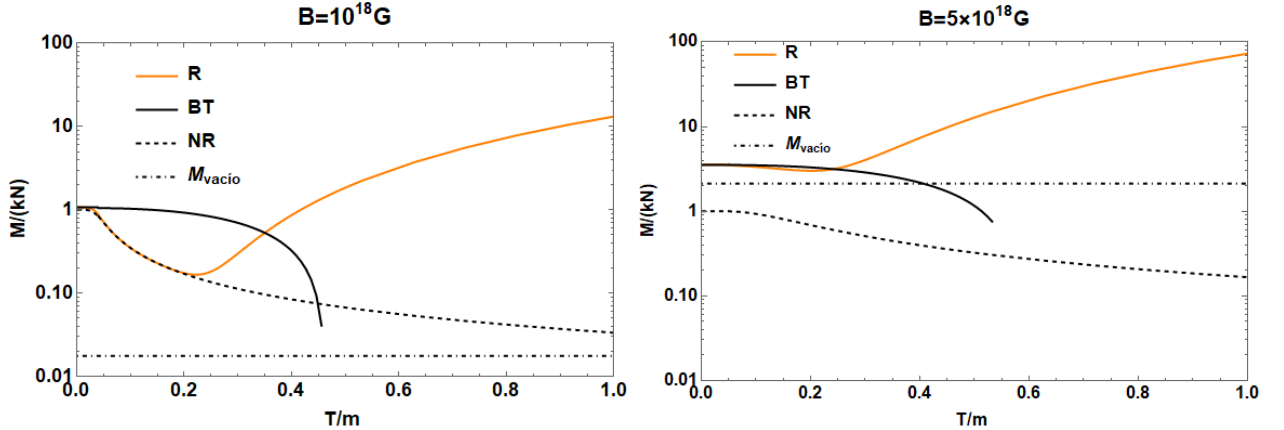


Figura 3.4: Magnetización como función de la temperatura para  $N = 1,30 \times 10^{39} \text{cm}^{-3}$ . La línea negra de rayas y puntos corresponde a la contribución del vacío.

ciable, y las curvas correspondientes a la magnetización total del gas relativista y los límites NR y BT coinciden para  $T = 0$  y son iguales a  $kN/\sqrt{1 - b}$ . A medida que la temperatura aumenta, la magnetización en el límite no relativista decrece y va a cero cuando  $T$  tiende a infinito, como vimos

en el Capítulo 2. La magnetización del gas relativista muestra este mismo comportamiento hasta  $T \sim 0,2 m$ ; a partir de este valor  $\mathcal{M}^\pm(\mu, T, b)$  crece. Este cambio en la monotonía está asociado a las antipartículas, pues alrededor de estas temperaturas su densidad comienza a ser apreciable (véase la Figura 3.1), y su aporte a la magnetización también. Nótese que la presencia de las antipartículas aumenta la magnetización en varios órdenes.

En el límite de baja temperatura, la magnetización también decrece cuando  $T$  aumenta, pero su comportamiento es bien diferente de los otros dos casos, pues se vuelve negativa alrededor de  $T \sim 0,5 m$  (el punto donde la curva termina). No obstante, esto no implica que el gas tenga a esas temperaturas un comportamiento diamagnético, sino que es consecuencia de haber despreciado los estados con  $s = 0$  y  $s = -1$ , y no es, por tanto, un resultado físicamente correcto. Este comportamiento de la magnetización BT refuerza el hecho de que este límite solo es válido para  $T \lesssim 10^{-3} m$ .

En el caso de  $B = 5 \times 10^{18} G$ , el comportamiento de la magnetización es similar, salvo por el hecho de que ahora  $\mathcal{M}_{vac}$  es mayor que el máximo de  $\mathcal{M}_{NR}$ . En consecuencia, la magnetización de los gases relativistas aumenta alrededor de  $T = 0$ . El campo magnético favorece la aproximación de baja temperatura y vemos que la magnetización en este límite coincide en un mayor intervalo de temperatura con la del gas relativista. Esto se debe a que mientras mayor sea el campo magnético más partículas se encuentran en el estado con  $s = 1$ .

Por último, es bueno resaltar que los gráficos de la magnetización muestran la importancia de considerar los efectos de las antipartículas y el vacío, que normalmente se desprecian.

Analicemos ahora qué sucede con la magnetización del gas relativista cuando  $b \rightarrow 0$ . Recordemos que en el Capítulo 2 este límite nos condujo al ferromagnetismo de Bose-Einstein. Al hacer  $b = 0$  en la Ec.(3.24) se obtiene:

$$\mathcal{M}_{st}(\mu, T, 0) = \sum_s \sum_{n=1}^{\infty} \frac{z^n + z^{-n}}{n} \left\{ \frac{m^2 k s T}{2\pi^2} K_1(nm/T) + \frac{k s T}{2\pi^2} \int_m^{\infty} x K_1(nx/T) dx \right\}, \quad (3.27)$$

pero al sumar por  $s = \pm 1$  la expresión anterior se anula. En ausencia de campo magnético, el término de la magnetización del vacío también es cero al igual que  $\mathcal{M}_{gs}(T, 0) = \kappa N_{gs}(T)$  por encima de la temperatura de condensación. Sin embargo, para  $T < T_c$ ,  $\mathcal{M}_{gs}(T, 0) = \kappa N_{gs}(T) \neq 0$  y obtenemos que la magnetización total es diferente de cero, aunque  $B = 0$ :

$$\mathcal{M}^\pm(\mu, T, 0) = \mathcal{M}_{gs}(T, 0). \quad (3.28)$$

Esto evidencia el comportamiento ferromagnético del gas relativista de bosones vectoriales neutros siempre que la condensación esté presente. Al igual que en el límite no relativista, la aparición del ferromagnetismo de Bose-Einstein se asocia a la condensación, ya que en el estado fundamental del gas magnetizado  $s = 1$ .

Para comprobar lo planteado en el párrafo anterior calcularemos como en el Capítulo 2, la capacidad calorífica y la susceptibilidad magnética. Las expresiones a toda temperatura para la entropía

y la energía interna por unidad de volumen del gas magnetizado de bosones vectoriales neutros son:

$$S^\pm(\mu, T, b) = -\frac{2}{T}\Omega_{st}(\mu, T, b) - \frac{\mu}{T}(N^+(\mu, T, b) - N^-(\mu, T, b)) \quad (3.29)$$

$$+ \sum_s \sum_{n=1}^{\infty} \frac{z^n + z^{-n}}{n} \left\{ \frac{y_0^3}{4\pi^2} [K_1(ny_0/T) + K_3(ny_0/T)] \right.$$

$$\left. + \frac{\alpha n}{2\pi^2 T} \int_{y_0}^{\infty} \frac{x^3}{\sqrt{x^2 + \alpha^2}} K_0(nx/T) dx \right\},$$

$$E^\pm(\mu, T, b) = -\Omega_{st}(\mu, T, b) + \Omega_{vac}(b) \quad (3.30)$$

$$+ \sum_s \sum_{n=1}^{\infty} \frac{z^n + z^{-n}}{n} \left\{ \frac{y_0^3 T}{4\pi^2} [K_1(ny_0/T) + K_3(ny_0/T)] \right.$$

$$\left. + \frac{\alpha n}{2\pi^2} \int_{y_0}^{\infty} \frac{x^3}{\sqrt{x^2 + \alpha^2}} K_0(nx/T) dx \right\},$$

Derivando la Ec.(3.30) con respecto a  $T$  se obtiene la capacidad calorífica:

$$C_V^\pm(\mu, T, b) = S^\pm(\mu, T, b) + \sum_s \sum_{n=1}^{\infty} \frac{z^n + z^{-n}}{n} \left\{ \frac{y_0^3}{4\pi^2} [K_1(ny_0/T) + K_3(ny_0/T)] \right. \quad (3.31)$$

$$\left. + \frac{y_0^4 n}{8\pi^2 T} [K_0(ny_0/T) + 2K_2(ny_0/T) + K_4(ny_0/T)] + \frac{\alpha n^2}{2\pi^2 T^2} \int_{y_0}^{\infty} \frac{x^4 K_1(nx/T) dx}{\sqrt{x^2 + \alpha^2}} \right\}$$

$$- \frac{\mu}{T} \sum_s \sum_{n=1}^{\infty} (z^n - z^{-n}) \left\{ \frac{y_0^3}{4\pi^2} [K_1(ny_0/T) + K_3(ny_0/T)] + \frac{\alpha n}{2\pi^2 T} \int_{y_0}^{\infty} \frac{x^3 K_0(nx/T) dx}{\sqrt{x^2 + \alpha^2}} \right\}.$$

La susceptibilidad magnética se obtiene derivando  $\mathcal{M}^\pm$  con respecto a  $B$ :

$$\chi^\pm(\mu, T, b) = \begin{cases} \chi_{st}(\mu, T, b) + \chi_{vac}(b) + \chi_{gs}(\mu, T, b), & \text{CBE,} \\ \chi_{st}(\mu, T, b) + \chi_{vac}(b), & \text{Gas Libre,} \end{cases} \quad (3.32)$$

donde

$$\chi_{vac}(b) = \frac{k^2 m^2}{4\pi} [-b^2 + (2b^2 - 3) \log(1 - b) + (2b^2 - 3) \log(1 + b)], \quad (3.33)$$

$$\chi_{st}(\mu, T, b) = \sum_s \sum_{n=1}^{\infty} \frac{(z^n - z^{-n})}{n} \left\{ \frac{4k^2 \alpha^2 n}{\pi^2 b^2 (2 - bs)} K_0(ny_0/T) + \right. \quad (3.34)$$

$$\left. \frac{4k^2 s \alpha T (4 - 3bs)}{\pi^2 (2 - bs)^3} K_1(ny_0/T) - \frac{3k^2 s^2 \alpha T}{2\pi^2} \int_{y_0}^{\infty} \frac{x^4 K_1(nx/T) dx}{(x^2 + \alpha^2)^{5/2}} \right\},$$

y

$$\chi_{gs}(\mu, T, b) = \frac{k^2}{m\sqrt{(1-b)^3}} N_{gs} - \frac{2k^2}{m\sqrt{1-b}} \sum_s \sum_{n=1}^{\infty} (z^n - z^{-n}) \quad (3.35)$$

$$\times \left\{ \frac{m^3 s \sqrt{1-bs}}{2\pi^2(2-bs)} K_1(ny_0/T) + \frac{ms}{4\pi^2} \int_{y_0}^{\infty} \frac{x^4 K_1(nx/T) dx}{(x^2 + \alpha^2)^{3/2}} \right\}.$$

Algo a tener en cuenta a la hora de calcular numéricamente la susceptibilidad magnética es que el primer término de  $\chi_{st}$  diverge para  $T < T_c$ , sin embargo  $\chi^{\pm}(\mu, T, b)$  converge a campo finito debido a que esa divergencia se compensa con el segundo término de  $\chi_{gs}$ . A campo cero,  $\chi_{st}(\mu, T, 0)$  diverge para todo  $T < T_c$  (los detalles de este análisis pueden ser consultados en el Apéndice B). Esto último también se obtuvo en el Capítulo 2 para la susceptibilidad no relativista, Ec.(2.18), y parece estar relacionado con el ferromagnetismo de Bose-Einstein, ya que se observa en las mismas condiciones de temperatura y campo, es decir a  $B = 0$  y  $T < T_c$ .

La Figura 3.5 muestra el calor específico y la susceptibilidad magnética como función de la temperatura para  $N = 1,30 \times 10^{39} \text{cm}^{-3}$  y varios valores del campo magnético. Al igual que en el caso

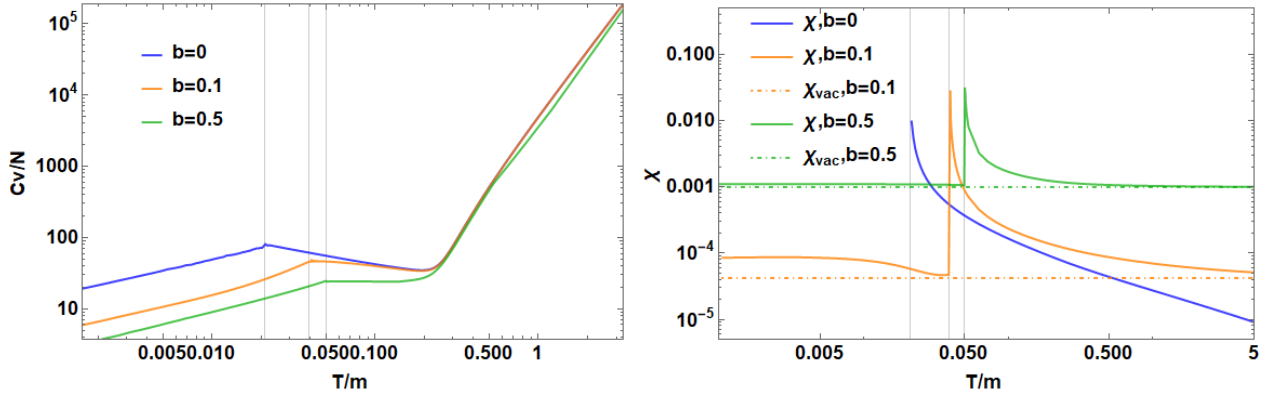


Figura 3.5: Calor específico y susceptibilidad magnética como función de la temperatura para  $N = 1,30 \times 10^{39} \text{cm}^{-3}$  y varios valores del campo magnético. Las líneas de rayas y puntos corresponden a la contribución del vacío y las líneas continuas verticales a  $T_c(b)$ .

no relativista, los picos de  $C_v^{\pm}(\mu, T, b)$  y  $\chi^{\pm}(\mu, T, b)$  ocurren en la temperatura de condensación (las líneas verticales continuas), indicando el paso del sistema del comportamiento paramagnético al ferromagnético. Esto refuerza nuestra conclusión de que el comportamiento ferromagnético del gas por debajo de  $T_c$  es una consecuencia de la condensación. También podemos ver que la presencia de las antipartículas hace que el calor específico por partícula aumente con la temperatura en vez de tender a  $3/2$  como en el caso no relativista. Otro aspecto interesante del panel derecho de la Figura 3.5 es el comportamiento a altas temperaturas de la susceptibilidad magnética. A  $B = 0$ ,  $\chi^{\pm}$  disminuye con  $T$  hasta hacerse cero como en el caso no relativista. No obstante, a campo magnético finito  $\chi^{\pm} \rightarrow \chi_{vac}$  cuando  $T$  aumenta. Esto es consistente con el hecho de que la magnetización relativista aumenta con

la temperatura en lugar de anularse. Como ya vimos, esto es una consecuencia directa de la presencia de una fracción finita de antipartículas en el sistema.

### 3.5 Presiones anisotrópicas

En este epígrafe estudiaremos las ecuaciones de estado del gas magnetizado, en particular el comportamiento con la temperatura de sus presiones paralela y perpendicular:

$$P_{\parallel}^{\pm}(\mu, T, b) = -\Omega^{\pm}(\mu, T, b), \quad (3.36)$$

$$P_{\perp}^{\pm}(\mu, T, b) = P_{\parallel}^{\pm}(\mu, T, b) - \frac{bm}{2k}\mathcal{M}^{\pm}(\mu, T, b). \quad (3.37)$$

La Figura 3.6 muestra la dependencia de las presiones con la temperatura para  $N = 1,30 \times 10^{39} \text{cm}^{-3}$  y varios valores de campo magnético. A modo de referencia se han dibujado también las curvas correspondientes a la presión del vacío. En este gráfico pueden identificarse claramente

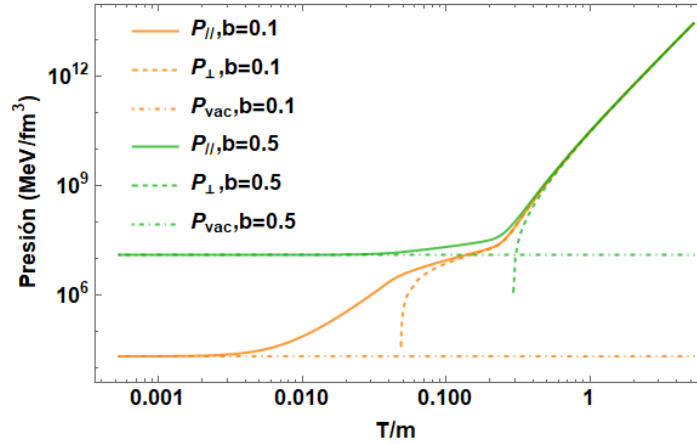


Figura 3.6: Presiones paralela y perpendicular como funciones de la temperatura para  $N = 1,30 \times 10^{39} \text{cm}^{-3}$  y varios valores del campo magnético. Las líneas de rayas y puntos corresponden a la contribución del vacío. Las líneas continuas constituyen la presión paralela y las discontinuas la presión perpendicular.

dos regiones. En la primera,  $T > m$ , la diferencia entre las presiones paralela y perpendicular es despreciable, así como también son despreciables las diferencias que pudieran existir entre las presiones a valores de  $B$  distintos. Esta es, por tanto, una región dominada por la temperatura.

En la segunda región,  $T < m$ , es notable la diferencia entre las presiones pues en ella domina el campo magnético. A medida que la temperatura disminuye  $P_{\parallel}^{\pm}$  tiende a la presión del vacío, mientras que  $P_{\perp}^{\pm}$  se hace negativa. Esto sucede porque a medida que más partículas del gas pasan al condensado,  $\Omega_{st}^{\pm}(\mu, T, b) \rightarrow 0$ , y  $\Omega_{vac}^{\pm}(b)$  y  $-B\mathcal{M}^{\pm}$  se convierten en los términos dominantes en las presiones paralela y perpendicular respectivamente. Por otra parte, nótese en la Figura 3.6 cómo el aumento del campo magnético aumenta la presión del vacío y la temperatura a la cual la  $P_{\perp}^{\pm}$  se hace

cero, facilitando así la ocurrencia del colapso magnético del gas, tal y como sucede también en límite no relativista analizado en el Capítulo 2.

Las diferencias entre las presiones que resultan del cálculo relativista presentado en este capítulo y sus límites NR y BT pueden apreciarse en la Figura 3.7. Dichas diferencias son, en términos generales,

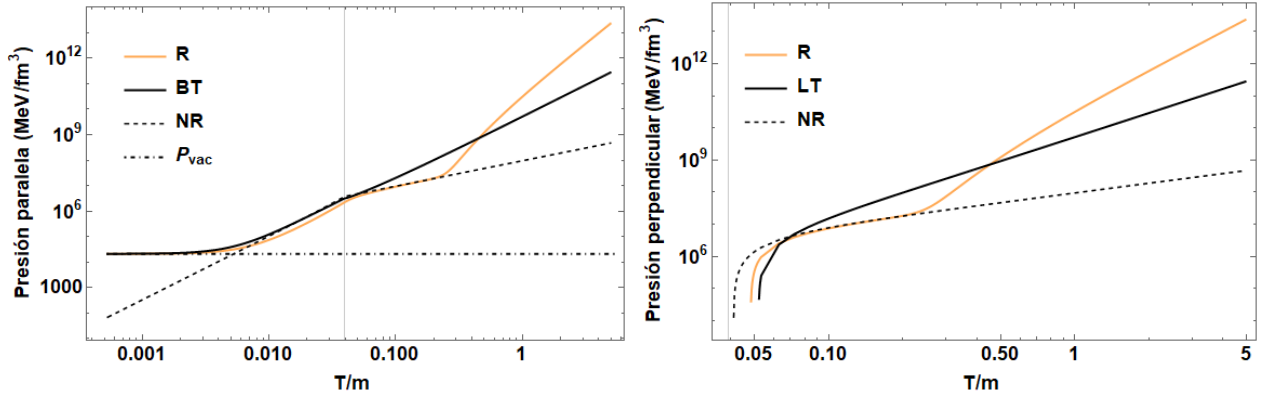


Figura 3.7: Presiones paralela y perpendicular como funciones de la temperatura para  $N = 1,30 \times 10^{39} \text{ cm}^{-3}$  y  $B = 10^{18} \text{ G}$ . La línea negra de rayas y puntos corresponde a la contribución del vacío. Las líneas naranja, negra y negra discontinua son las presiones en las diferentes descripciones del gas de bosones vectoriales neutros. La línea horizontal corresponde a la temperatura crítica del CBE.

tres: Primero, la presencia de las antipartículas en la región de altas temperaturas, que ocasiona una diferencia de varios órdenes entre las presiones relativistas y no relativistas. Segundo, que en los dos casos relativistas el comportamiento de la presión paralela a bajas temperaturas es dominado por la presión del vacío, mientras que en el límite no relativista  $P_{\parallel}$  tiende a cero con  $T$ . Y tercero, que el valor de la temperatura para la cual  $P_{\perp} = 0$  se subestima en el límite no relativista, mientras que se sobreestima en la aproximación de baja temperatura.

# Conclusiones

A fin de contribuir al desarrollo de descripciones cada vez más precisas y realistas de los objetos y fenómenos astrofísicos, al iniciar el trabajo que culmina con la presentación de esta tesis nos propusimos estudiar las propiedades termodinámicas de un gas magnetizado de bosones vectoriales neutros a toda temperatura. Como resultado, en la tesis se presentan, por primera vez hasta donde sabemos, las expresiones analíticas exactas para las ecuaciones de estado de un gas magnetizado de bosones vectoriales neutros a toda temperatura, y su límite no relativista, incluidas la magnetización y las segundas derivadas del potencial termodinámico ( $C_v$  y  $\chi$ ). Estas EdE están listas para ser utilizadas en cualquier problema (astro)físico que así lo requiera.

El estudio numérico de la termodinámica de este gas en condiciones astrofísicas, permitió ver la influencia relativa de los parámetros del problema (densidad, campo magnético y temperatura) en la ocurrencia de distintos fenómenos. En particular, fueron investigados la condensación de Bose-Einstein, las propiedades magnéticas y la anisotropía en las presiones que es típica de los gases cuánticos magnetizados. A partir de los resultados obtenidos, arribamos a las siguientes conclusiones:

- En dependencia de si  $T$  es mayor o menor que la masa de los bosones, existen dos regímenes bien diferenciados en el comportamiento del gas. Para  $T \ll m$ , dominan en el sistema los efectos del campo magnético, mientras que si  $T \gg m$  dominan los efectos de la temperatura, siendo el más importante de ellos la existencia de una fracción no despreciable de antipartículas en el caso del gas relativista.
- En los dos casos estudiados, la transición de fase al CBE depende de la temperatura, la densidad de partículas y el campo magnético, de manera tal que al aumentar la densidad de partículas o el campo magnético, así como al disminuir la temperatura, el condensado puede aparecer.
- La relevancia de las antipartículas en el gas relativista se evidencia claramente en todas las magnitudes. En general, la densidad de antipartículas deja de ser despreciable alrededor de  $T \sim 0,2 m$  para  $N = 1,30 \times 10^{39} \text{cm}^{-3}$ , aunque sus efectos se manifiestan con más fuerza para  $T \gtrsim m$ , siendo ambos valores de temperatura, al parecer, bastante independientes del campo magnético.

Esto último cobra especial importancia en los casos de la magnetización y la presión del gas, pues la aparición de las antipartículas en el régimen de altas temperaturas implica un aumento de varios órdenes en ambas magnitudes. De manera que las antipartículas podrían estar conectadas

tanto a la producción y mantenimiento de los altos campos magnéticos estelares, como a la estabilidad gravitacional de los objetos astronómicos.

- Por debajo de la temperatura crítica del CBE, el gas muestra, para todas las descripciones estudiadas, una magnetización espontánea. La aparición del ferromagnetismo de Bose-Einstein se asocia a la condensación, lo que fue demostrado a través del estudio de  $C_v$  y  $\chi$ . La capacidad de los gases vectoriales de magnetizarse espontáneamente podría contarse también entre las causas de que originan y mantienen el campo magnético en entornos astrofísicos.
- Como sucede con otros gases cuánticos magnetizados, la presencia del campo magnético impone su simetría axial al sistema y separa las presiones en dos componentes, una a paralela y otra perpendicular al eje magnético. La presión paralela aumenta con el campo magnético, mientras que la perpendicular disminuye. Bajo ciertas condiciones, la presión perpendicular puede ser negativa y el sistema se vuelve inestable. Como se mostró, esta inestabilidad es causada por el campo magnético, mientras que la temperatura se opone a ella. Por otro lado, aumentar la densidad de partículas también desestabiliza el gas. Esto impone un límite superior a las densidades de bosones permitidas en los objetos astronómicos para una temperatura y un campo magnético dado.

Finalmente, la comparación entre el cálculo relativista general y los límites no relativista y de baja temperatura permitió establecer los rangos de validez de dichas aproximaciones y sus efectos en el sistema estudiado. Aunque las expresiones obtenidas para las magnitudes termodinámicas en el límite no relativista son válidas para toda temperatura, esta aproximación no toma en cuenta la producción de antipartículas a altas temperaturas, ni los efectos de vacío, que pueden llegar a ser muy importantes para el gas magnetizado en la región de bajas temperaturas. En cambio, encontramos que el límite de baja temperatura solo es aplicable para campos magnéticos fuertes. Las limitantes halladas en ambas aproximaciones con respecto al cálculo relativista a toda temperatura demuestran su importancia, y reafirman la necesidad y relevancia del trabajo llevado a cabo en la presente tesis.

# Recomendaciones

Al contar con las ecuaciones de estado para el gas de bosones vectoriales neutros a toda temperatura, podemos darle continuidad a los estudios previos de las estrellas de bosones y obtener las modificaciones que sufren los observables a consecuencia de la temperatura, así como investigar otros fenómenos relacionados con esta, como el enfriamiento de la estrella y diferentes tipos de emisión.

## Apéndice A

# Cálculo del calor específico no relativista

El procedimiento para calcular el calor específico depende de si estamos en presencia de la fase condensada o no. Comencemos con el caso en que ya hay condensado, ya que el cálculo es más simple. En en el condesado  $C_{V_{NR}}$  es:

$$C_{V_{NR}} = \frac{\partial}{\partial T} \left[ -\frac{3}{2} \Omega_{NR}(\mu, T, B) - kB[N_+ - N_-] \right], \quad (\text{A.1})$$

luego de derivar:

$$C_{V_{NR}}(\mu, T, B) = \frac{3}{2} S_{NR}(\mu, T, B) - \frac{3}{2} \frac{kB}{T} [N_+ - N_-] + \frac{kB}{T^2} \left( \frac{mT}{2\pi} \right)^{3/2} \times [(\mu + kB)g_{1/2}(z_+) - (\mu - kB)g_{1/2}(z_-)], \quad (\text{A.2})$$

sustituyendo  $\mu = -kB$  queda:

$$C_{V_{NR}}(-kB, T, B) = \frac{3}{2} S_{NR}(-kB, T, B) - \frac{3}{2} \frac{kB}{T} [N_+ - N_-] + 2 \left( \frac{kB}{T} \right)^2 \left( \frac{mT}{2\pi} \right)^{3/2} g_{1/2}(z_-). \quad (\text{A.3})$$

En la fase no condensada  $N = N_+ + N_- + N_0$  ya que  $N_{gs} = 0$  y se cumple:

$$\left( \frac{mT}{2\pi} \right)^{3/2} = \frac{1}{g_{3/2}(z_+) + g_{3/2}(z_-) + g_{3/2}(z_0)}. \quad (\text{A.4})$$

Utilizando la identidad anterior podemos reescribir la densidad de energía Ec.(2.23):

$$\frac{E_{NR}(\mu, T, B)}{N} = \frac{3}{2} T \left[ \frac{g_{5/2}(z_-) + g_{5/2}(z) + g_{5/2}(z_+)}{g_{3/2}(z_-) + g_{3/2}(z) + g_{3/2}(z_+)} \right] - kB \left[ \frac{g_{3/2}(z_-) - g_{3/2}(z_+)}{g_{3/2}(z_-) + g_{3/2}(z) + g_{3/2}(z_+)} \right], \quad (\text{A.5})$$

y escribir el calor específico como:

$$\frac{C_{V_{NR}}}{N} = \frac{3}{2} \left[ \frac{g_{5/2}(z_-) + g_{5/2}(z) + g_{5/2}(z_+)}{g_{3/2}(z_-) + g_{3/2}(z) + g_{3/2}(z_+)} \right] + \frac{3}{2} T \frac{\partial}{\partial T} \left[ \frac{g_{5/2}(z_-) + g_{5/2}(z) + g_{5/2}(z_+)}{g_{3/2}(z_-) + g_{3/2}(z) + g_{3/2}(z_+)} \right] - kB \frac{\partial}{\partial T} \left[ \frac{g_{3/2}(z_-) - g_{3/2}(z_+)}{g_{3/2}(z_-) + g_{3/2}(z) + g_{3/2}(z_+)} \right]. \quad (\text{A.6})$$

Vamos a llamarle  $D_1$  a la derivada del segundo término de (A.6) y  $D_2$  a la del tercer término, ya que las calcularemos por separado. Como,  $\frac{\partial}{\partial T}[g_{3/2}(z_-) + g_{3/2}(z) + g_{3/2}(z_+)] = -\frac{3}{2} \frac{1}{T} \left(\frac{2\pi}{mT}\right)^{3/2}$  y usando (A.3) obtenemos:

$$\begin{aligned}\frac{\partial}{\partial T}[g_{3/2}(z_-)] &= -\frac{3}{2} \frac{1}{T} g_{3/2}(z_-), \\ \frac{\partial}{\partial T}[g_{3/2}(z)] &= -\frac{3}{2} \frac{1}{T} g_{3/2}(z), \\ \frac{\partial}{\partial T}[g_{3/2}(z_+)] &= -\frac{3}{2} \frac{1}{T} g_{3/2}(z_+).\end{aligned}\tag{A.7}$$

Utilizando la siguiente fórmula de recurrencia de la función polilogartímica  $z_i \frac{\partial}{\partial z_i} [g_\nu(z_i)] = g_{\nu-1}(z_i)$  se obtiene:

$$\frac{\partial}{\partial T} g_{3/2}(z_i) = \frac{\partial}{\partial z_i} [g_{3/2}(z_i)] \frac{\partial z_i}{\partial T} \implies \frac{1}{z_i} \frac{\partial z_i}{\partial T} = \frac{\partial}{\partial T} [g_{3/2}(z_i)] \frac{1}{g_{1/2}(z_i)},\tag{A.8}$$

luego:

$$\begin{aligned}D_1 &= \frac{\frac{\partial}{\partial z_-} [g_{5/2}(z_-)] \frac{\partial z_-}{\partial T} + \frac{\partial}{\partial z} [g_{5/2}(z)] \frac{\partial z}{\partial T} + \frac{\partial}{\partial z_+} [g_{5/2}(z_+)] \frac{\partial z_+}{\partial T}}{g_{3/2}(z_-) + g_{3/2}(z) + g_{3/2}(z_+)} \\ &\quad - \frac{g_{5/2}(z_-) + g_{5/2}(z) + g_{5/2}(z_+)}{[g_{3/2}(z_-) + g_{3/2}(z) + g_{3/2}(z_+)]^2} \frac{\partial}{\partial T} [g_{3/2}(z_-) + g_{3/2}(z) + g_{3/2}(z_+)].\end{aligned}\tag{A.9}$$

Haciendo uso de  $\frac{\partial}{\partial T} [g_\nu(z_\pm)] = -\frac{(\mu \pm kB)}{T^2} g_{\nu-1}(z_\pm)$ ,  $\frac{\partial}{\partial T} [g_\nu(z)] = -\frac{\mu}{T^2} g_{\nu-1}(z)$ , (A.7) y (A.8) es fácil llegar a:

$$D_1 = -\frac{3}{2} \frac{1}{T} \frac{\frac{[g_{3/2}(z_-)]^2}{g_{1/2}(z_-)} + \frac{[g_{3/2}(z)]^2}{g_{1/2}(z)} + \frac{[g_{3/2}(z_+)]^2}{g_{1/2}(z_+)}}{g_{3/2}(z_+) + g_{3/2}(z) + g_{3/2}(z_+)} + \frac{3}{2} \frac{1}{T} \frac{g_{5/2}(z_-) + g_{5/2}(z) + g_{5/2}(z_+)}{g_{3/2}(z_-) + g_{3/2}(z) + g_{3/2}(z_+)},\tag{A.10}$$

$$D_2 = 0.\tag{A.11}$$

Finalmente obtenemos el calor específico en la fase no condensada:

$$\frac{C_{V_{NR}}(\mu, T, B)}{N} = \frac{15}{4} \frac{g_{5/2}(z_-) + g_{5/2}(z) + g_{5/2}(z_+)}{g_{3/2}(z_-) + g_{3/2}(z) + g_{3/2}(z_+)} - \frac{9}{4} \frac{\frac{[g_{3/2}(z_-)]^2}{g_{1/2}(z_-)} + \frac{[g_{3/2}(z)]^2}{g_{1/2}(z)} + \frac{[g_{3/2}(z_+)]^2}{g_{1/2}(z_+)}}{g_{3/2}(z_+) + g_{3/2}(z) + g_{3/2}(z_+)}.\tag{A.12}$$

## Apéndice B

# Análisis de convergencia de la susceptibilidad magnética relativista en presencia del condensado

Analicemos la convergencia del primer término de  $\chi_{st}$  en la Ec. (3.34):

$$\sum_s \sum_{n=1}^{\infty} \frac{k^2 m^2 s^2}{\pi^2 (2 - bs)^2} (z^n - z^{-n}) K_0(nm\beta\sqrt{1 - bs}). \quad (\text{B.1})$$

Sumando por  $s = -1, 0, 1$  queda:

$$\sum_{n=1}^{\infty} \left\{ \frac{k^2 m^2}{\pi^2 (2 - b)^2} (z^n - z^{-n}) K_0(nm\beta\sqrt{1 - b}) + \frac{k^2 m^2}{\pi^2 (2 + b)^2} (z^n - z^{-n}) K_0(nm\beta\sqrt{1 + b}) \right\}, \quad (\text{B.2})$$

cuando  $n \rightarrow \infty$ ,  $K_0(nm\beta\sqrt{1 \pm b}) \sim \frac{\sqrt{\pi} e^{-nm\beta\sqrt{1 \pm b}}}{\sqrt{2nm\beta\sqrt{1 \pm b}}}$ ; por tanto, para  $n \gg 1$  se cumple que:

$$a_n(s = \pm 1) = (e^{n\mu\beta} - e^{-n\mu\beta}) K_0(nm\beta\sqrt{1 \pm b}) \approx \frac{\sqrt{\pi} (e^{n\beta(\mu - m\sqrt{1 \pm b})} + e^{-n\beta(\mu + m\sqrt{1 \pm b})})}{\sqrt{2nm\beta\sqrt{1 \pm b}}}. \quad (\text{B.3})$$

En el condensado  $\mu = m\sqrt{1 - b}$ , por tanto:

$$a_n(s = -1) = \frac{\sqrt{\pi} (e^{nm\beta(\sqrt{1-b} - \sqrt{1+b})} + e^{-nm\beta(\sqrt{1-b} + \sqrt{1+b})})}{\sqrt{2nm\beta\sqrt{1+b}}}, \quad (\text{B.4})$$

y

$$a_n(s = 1) = \frac{\sqrt{\pi} (1 + e^{-nm\beta 2\sqrt{1-b}})}{\sqrt{2nm\beta\sqrt{1-b}}}. \quad (\text{B.5})$$

Cuando  $n \rightarrow \infty$ , la Ec.(B.4) tiende a cero exponencialmente, mientras que la Ec.(B.5) tiende a cero como  $1/\sqrt{n}$ , por tanto, la suma infinita de  $a_n(s = 1)$  no converge. En los otros términos de  $\chi_{st}$  con

$s = 1$  pasa lo mismo, pero como están divididos por  $n$ , tienden a cero como  $\frac{1}{n^{3/2}}$  y no hay problemas de convergencia. Luego  $\chi_{st}$  no converge para  $T < T_c$ . Para campo finito la convergencia de  $\chi^\pm$  se logra porque el término infinito en  $\chi_{st}$  se compensa con el segundo sumando de  $\chi_{gs}$ :

$$- \sum_s \sum_{n=1}^{\infty} \frac{k^2 m^2 s \sqrt{1 - bs}}{\pi^2 \sqrt{1 - b}(2 - bs)} (z^n - z^{-n}) K_0(nm\beta\sqrt{1 - bs}), \quad (\text{B.6})$$

que también tiende a cero como  $1/\sqrt{n}$  cuando  $n \rightarrow \infty$ . Sin embargo, para  $b = 0$  la Ec.(B.6) se anula cuando sumamos por  $s$ , no hay nada que compense el infinito de  $\chi_{st}$  y, como consecuencia,  $\chi^\pm(\mu, T, 0)$  diverge para  $T < T_c$ .

# Bibliografía

- [1] F. Weber, *Pulsars as astrophysical laboratories for nuclear and particle physics*. Routledge, 2017.
- [2] M. Buballa, “Njl-model analysis of dense quark matter,” *Physics Reports*, vol. 407, no. 4-6, pp. 205–376, 2005.
- [3] J. R. Oppenheimer and G. M. Volkoff, “On massive neutron cores,” *Physical Review*, vol. 55, no. 4, p. 374, 1939.
- [4] M. Camenzind, *Compact objects in astrophysics : white dwarfs, neutron stars, and black holes*. 2007.
- [5] J. M. Lattimer and M. Prakash, “Neutron star observations: Prognosis for equation of state constraints,” *Physics reports*, vol. 442, no. 1-6, pp. 109–165, 2007.
- [6] M. Baldo, M. Buballa, G. Burgio, F. Neumann, M. Oertel, and H.-J. Schulze, “Neutron stars and the transition to color superconducting quark matter,” *Physics Letters B*, vol. 562, no. 3-4, pp. 153–160, 2003.
- [7] P.-H. Chavanis and T. Harko, “Bose-einstein condensate general relativistic stars,” *Physical Review D*, vol. 86, no. 6, p. 064011, 2012.
- [8] G. Quintero Angulo, A. Perez Martinez, and H. Perez Rojas, “Anisotropic equation of state of charged and neutral vector boson gases in a constant magnetic field: Astrophysical implications,” *Astronomische Nachrichten*, vol. 338, no. 9-10, pp. 1127–1130, 2017.
- [9] S. Latifah, A. Sulaksono, and T. Mart, “Bosons star at finite temperature,” *Physical Review D*, vol. 90, no. 12, p. 127501, 2014.
- [10] G. Quintero Angulo, A. Pérez Martínez, H. Pérez Rojas, and D. Manreza Paret, “(self-) magnetized bose–einstein condensate stars,” *International Journal of Modern Physics D*, vol. 28, no. 10, p. 1950135, 2019.
- [11] A. Sedrakian and J. W. Clark, “Nuclear superconductivity in compact stars: Bcs theory and beyond,” in *Pairing in Fermionic Systems: Basic Concepts and Modern Applications*, pp. 135–174, World Scientific, 2006.

- [12] M. Gusakov, A. Kaminker, D. Yakovlev, and O. Y. Gnedin, “Enhanced cooling of neutron stars via cooper-pairing neutrino emission,” *Astronomy & Astrophysics*, vol. 423, no. 3, pp. 1063–1071, 2004.
- [13] U. Lombardo, C. Shen, H.-J. Schulze, and W. Zuo, “Superfluid states of nuclear matter beyond the bcs approximation,” *International Journal of Modern Physics E*, vol. 14, no. 04, pp. 513–554, 2005.
- [14] N. Chamel, “Superfluidity and superconductivity in neutron stars,” *Journal of Astrophysics and Astronomy*, vol. 38, no. 3, p. 43, 2017.
- [15] A. Sedrakian and J. W. Clark, “Superfluidity in nuclear systems and neutron stars,” *The European Physical Journal A*, vol. 55, no. 9, pp. 1–56, 2019.
- [16] C. Pethick, T. Schaefer, and A. Schwenk, “Bose-einstein condensates in neutron stars,” *arXiv preprint arXiv:1507.05839*, 2015.
- [17] P. S. Shternin, D. G. Yakovlev, C. O. Heinke, W. C. Ho, and D. J. Patnaude, “Cooling neutron star in the cassiopeia a supernova remnant: evidence for superfluidity in the core,” *Monthly Notices of the Royal Astronomical Society: Letters*, vol. 412, no. 1, pp. L108–L112, 2011.
- [18] B. Y. Sun, H. Toki, and J. Meng, “Relativistic description of bcs–bec crossover in nuclear matter,” *Physics Letters B*, vol. 683, no. 2-3, pp. 134–139, 2010.
- [19] G. Astrakharchik, J. Boronat, J. Casulleras, and S. Giorgini, “Momentum distribution and condensate fraction of a fermion gas in the bcs-bec crossover,” *Physical review letters*, vol. 95, no. 23, p. 230405, 2005.
- [20] A. J. Leggett and S. Zhang, “The bec–bcs crossover: Some history and some general observations,” in *The BCS-BEC crossover and the unitary Fermi gas*, pp. 33–47, Springer, 2012.
- [21] G. Q. Angulo, A. P. Martínez, and H. P. Rojas, “Thermodynamic properties of a neutral vector boson gas in a constant magnetic field,” *Physical Review C*, vol. 96, no. 4, p. 045810, 2017.
- [22] D. Alvear Terrero, P. Bargeño, E. Contreras, A. P. Martínez, and G. Q. Angulo, “Anisotropic magnetized sources in general relativity: An exact description for the magnetized vacuum,” *International Journal of Modern Physics D*, vol. 28, no. 07, p. 1950090, 2019.
- [23] D. A. Terrero, V. H. Mederos, S. L. Pérez, D. M. Paret, A. P. Martínez, and G. Q. Angulo, “Modeling anisotropic magnetized white dwarfs with  $\gamma$  metric,” *Physical Review D*, vol. 99, no. 2, p. 023011, 2019.
- [24] S. L. Pérez, D. M. Paret, G. Q. Angulo, A. P. Martínez, and D. A. Terrero, “Modeling anisotropic magnetized strange quark stars,” *Astronomische Nachrichten*, vol. 340, no. 9-10, pp. 1013–1017, 2019.

- [25] G. Q. Angulo, *Efectos del campo magnético en un gas de bosones vectoriales neutros: aplicaciones astrofísicas*. PhD thesis, Facultad de Física, Universidad de la Habana, 2019.
- [26] M. Baldo, Ø. Elgarøy, L. Engvik, M. Hjorth-Jensen, and H.-J. Schulze, “3 p 2- 3 f 2 pairing in neutron matter with modern nucleon-nucleon potentials,” *Physical Review C*, vol. 58, no. 4, p. 1921, 1998.
- [27] R. Tamagaki, “Superfluid state in neutron star matter. i: Generalized bogoliubov transformation and existence of 3 p 2 gap at high density,” *Progress of Theoretical Physics*, vol. 44, no. 4, pp. 905–928, 1970.
- [28] H. P. Rojas, “Bose-Einstein condensation may occur in a constant magnetic field,” *Physics Letters B*, vol. 379, pp. 148–152, Feb. 1996.
- [29] V. Khalilov, C.-L. Ho, and C. Yang, “Condensation and magnetization of charged vector boson gas,” *Modern Physics Letters A*, vol. 12, pp. 1973–1981, 09 1997.
- [30] V. R. Khalilov and C.-L. Ho, “Pair production of charged vector bosons in supercritical magnetic fields at finite temperatures,” *Phys. Rev. D*, vol. 60, p. 033003, Jun 1999.
- [31] H. Perez Rojas and L. Villegas-Lelovski, “Bose-Einstein condensation in a constant magnetic field,” *Brazilian Journal of Physics*, vol. 30, pp. 410 – 418, 06 2000.
- [32] H. Rojas, “Bose-einstein condensation may occur in a constant magnetic field,” *Physics Letters B*, vol. 379, pp. 148–152, 1996.
- [33] K. Yamada, “Thermal properties of the system of magnetic bosons: —bose-einstein ferromagnetism—,” *Progress of Theoretical Physics*, vol. 67, no. 2, pp. 443–453, 1982.
- [34] M. V. Simkin and E. G. D. Cohen, “Magnetic properties of a bose-einstein condensate,” *Physical Review A*, vol. 59, p. 1528–1532, Feb 1999.
- [35] A. Ayala and A. Smerzi, “Density and boundary effects on pion distributions in relativistic heavy-ion collisions,” *Physics Letters B*, vol. 405, no. 1-2, pp. 20–24, 1997.
- [36] V. Begun and M. I. Gorenstein, “Particle number fluctuations in relativistic bose and fermi gases,” *Physical Review C*, vol. 73, no. 5, p. 054904, 2006.
- [37] G. Su, L. Chen, and J. Chen, “Thermodynamic properties of a trapped relativistic bose gas with pair production,” *Journal of Physics A: Mathematical and Theoretical*, vol. 41, no. 28, p. 285002, 2008.
- [38] P. Zyla *et al.*, “Review of Particle Physics,” *PTEP*, vol. 2020, no. 8, p. 083C01, 2020.
- [39] A. Gezerlis, C. Pethick, and A. Schwenk, “Pairing and superfluidity of nucleons in neutron stars,” *arXiv preprint arXiv:1406.6109*, 2014.

- [40] J. A. Young and S. A. Bludman, “Electromagnetic properties of a charged vector meson,” vol. 131, pp. 2326–2334, 09 1963.
- [41] A. J. Silenko, “High precision description and new properties of a spin-1 particle in a magnetic field,” *Phys. Rev.*, vol. D89, no. 12, p. 121701, 2014.
- [42] H. Pérez Rojas, E. Rodríguez Querts, and A. Pérez Mart’inez, “Quantum relativistic electron gas expanding in one dimension,” *International Journal of Modern Physics: Conference Series*, vol. 45, p. 1760045, 2017.
- [43] M. H. Anderson, J. R. Ensher, M. R. Matthews, C. E. Wieman, and E. A. Cornell, “Observation of bose-einstein condensation in a dilute atomic vapor,” *science*, vol. 269, no. 5221, pp. 198–201, 1995.
- [44] T. Nikuni, M. Oshikawa, A. Oosawa, and H. Tanaka, “Bose-einstein condensation of dilute magnons in tlcuel 3,” *Physical review letters*, vol. 84, no. 25, p. 5868, 2000.
- [45] D. G. Fried, T. C. Killian, L. Willmann, D. Landhuis, S. C. Moss, D. Kleppner, and T. J. Greytak, “Bose-einstein condensation of atomic hydrogen,” *Physical Review Letters*, vol. 81, no. 18, p. 3811, 1998.
- [46] C. C. Bradley, C. Sackett, and R. Hulet, “Bose-einstein condensation of lithium: Observation of limited condensate number,” *Physical Review Letters*, vol. 78, no. 6, p. 985, 1997.
- [47] S. Sebastian, P. Sharma, M. Jaime, N. Harrison, V. Correa, L. Balicas, N. Kawashima, C. Batista, and I. Fisher, “Characteristic bose-einstein condensation scaling close to a quantum critical point in bacusi 2 o 6,” *Physical Review B*, vol. 72, no. 10, p. 100404, 2005.
- [48] D. Becker, M. D. Lachmann, S. T. Seidel, H. Ahlers, A. N. Dinkelaker, J. Grosse, O. Hellmig, H. Müntinga, V. Schkolnik, T. Wendrich, *et al.*, “Space-borne bose-einstein condensation for precision interferometry,” *Nature*, vol. 562, no. 7727, pp. 391–395, 2018.
- [49] H. E. Haber and H. A. Weldon, “Thermodynamics of an ultrarelativistic ideal bose gas,” *Physical Review Letters*, vol. 46, no. 23, p. 1497, 1981.
- [50] W. Bertsche, A. Boston, P. Bowe, C. Cesar, S. Chapman, M. Charlton, M. Chartier, A. Deutsch, J. Fajans, M. Fujiwara, *et al.*, “The alpha experiment: a cold antihydrogen trap,” in *AIP Conference Proceedings*, vol. 796, pp. 301–308, American Institute of Physics, 2005.
- [51] M. Ahmadi, B. Alves, C. Baker, W. Bertsche, E. Butler, A. Capra, C. Carruth, C. Cesar, M. Charlton, S. Cohen, *et al.*, “Observation of the hyperfine spectrum of antihydrogen,” *Nature*, vol. 548, no. 7665, pp. 66–69, 2017.
- [52] R. Beckmann, F. Karsch, and D. E. Miller, “Bose-einstein condensation of a relativistic gas in d dimensions,” *Physical Review Letters*, vol. 43, no. 18, p. 1277, 1979.

- [53] H. E. Haber and H. A. Weldon, “Finite-temperature symmetry breaking as bose-einstein condensation,” *Physical Review D*, vol. 25, no. 2, p. 502, 1982.
- [54] L. Burakovsky, L. Horwitz, and W. Schieve, “New relativistic high-temperature bose-einstein condensation,” *Physical Review D*, vol. 54, no. 6, p. 4029, 1996.
- [55] K. Huang, “Statistical mechanics,” *stme*, p. 512, 1987.
- [56] M. T. P. C. Rodríguez, *FÍSICA ESTADÍSTICA, Apuntes para un libro de texto*. 1999.
- [57] P. Elmfors, P. Liljenberg, D. Persson, and B.-S. Skagerstam, “Condensation and magnetization of the relativistic bose gas,” *Physics Letters B*, vol. 348, no. 3-4, pp. 462–467, 1995.
- [58] H. Perez Rojas and E. Rodriguez Querts, “Negative pressures in qed vacuum in an external magnetic field,” *International Journal of Modern Physics A*, vol. 21, no. 18, pp. 3761–3770, 2006.
- [59] L. Suárez-González, G. Q. Angulo, A. P. Martínez, and H. P. Rojas, “A non-relativistic magnetized vector boson gas at any temperature,” in *Journal of Physics: Conference Series*, vol. 1239, p. 012004, IOP Publishing, 2019.
- [60] M. Simkin and E. Cohen, “Magnetic properties of a bose-einstein condensate,” *Physical Review A*, vol. 59, no. 2, p. 1528, 1999.
- [61] M. Chaichian, S. S. Masood, C. Montonen, A. Perez Martinez, and H. Perez Rojas, “Quantum magnetic and gravitational collapse,” *Phys. Rev. Lett.*, vol. 84, pp. 5261–5264, 2000.
- [62] A. Pérez Martínez, H. Pérez Rojas, and H. J. Mosquera Cuesta, “Magnetic collapse of a neutron gas: Can magnetars indeed be formed?,” *European Physical Journal C*, vol. 29, pp. 111–123, July 2003.
- [63] R. G. Felipe, H. J. Mosquera Cuesta, A. Perez Martinez, and H. Perez Rojas, “Quantum instability of magnetized stellar objects,” *Chin. J. Astron. Astrophys.*, vol. 5, p. 399, 2005.
- [64] G. Quintero Angulo, A. Pérez Martínez, and H. Pérez Rojas, “Anisotropic equation of state of charged and neutral vector boson gases in a constant magnetic field. Astrophysical implications,” *Astron. Nachr./AN.*, vol. 338, pp. 1127–1130, 2017.
- [65] L. de la Caridad Suárez González, G. Q. Angulo, A. P. Martínez, and H. P. Rojas, “Bose-einstein condensation and antiparticles in a magnetized neutral vector boson gas at any temperature,” *Astronomische Nachrichten*, vol. 340, no. 9-10, pp. 952–956, 2019.